

Zeitschrift: Bericht der Eidgenössischen Kommission zur Überwachung der Radioaktivität

Band: 10 (1966)

Anhang: [Abbildungen = Images]

Nutzungsbedingungen

Die ETH-Bibliothek ist die Anbieterin der digitalisierten Zeitschriften. Sie besitzt keine Urheberrechte an den Zeitschriften und ist nicht verantwortlich für deren Inhalte. Die Rechte liegen in der Regel bei den Herausgebern beziehungsweise den externen Rechteinhabern. [Siehe Rechtliche Hinweise.](#)

Conditions d'utilisation

L'ETH Library est le fournisseur des revues numérisées. Elle ne détient aucun droit d'auteur sur les revues et n'est pas responsable de leur contenu. En règle générale, les droits sont détenus par les éditeurs ou les détenteurs de droits externes. [Voir Informations légales.](#)

Terms of use

The ETH Library is the provider of the digitised journals. It does not own any copyrights to the journals and is not responsible for their content. The rights usually lie with the publishers or the external rights holders. [See Legal notice.](#)

Download PDF: 08.11.2024

ETH-Bibliothek Zürich, E-Periodica, <https://www.e-periodica.ch>

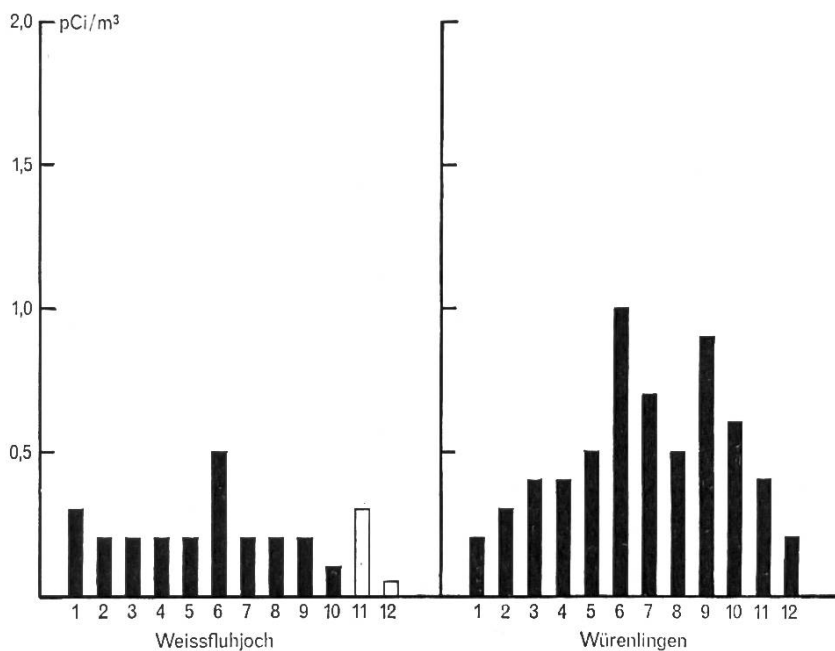
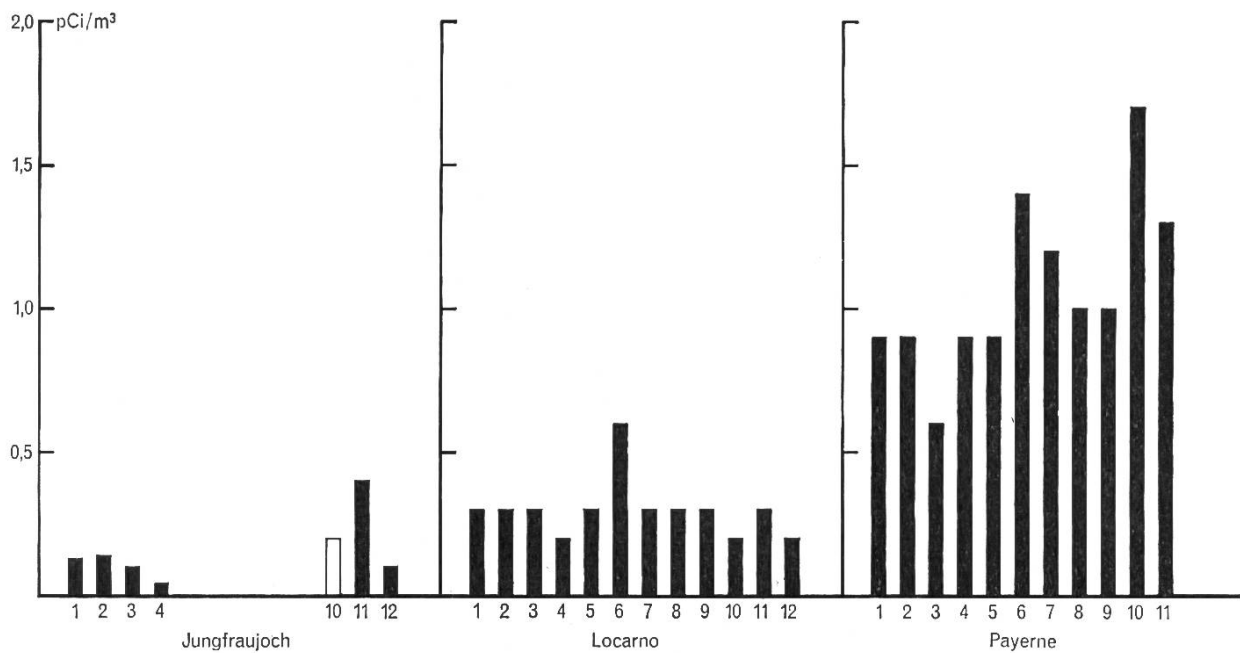


Fig. 1. Monatliche Mittelwerte der spezifischen Gesamt-Beta-Aktivität der Luft, bezogen auf 760 mm Hg und 0° C, für die Messstellen Jungfrauoch, Locarno, Payerne, Weissfluhjoch und Würenlingen.

Fig. 1. Moyennes mensuelles de l'activité spécifique bêta totale de l'air, à 760 mm Hg et 0° C, mesurées aux stations du Jungfrauoch, Locarno, Payerne, Weissfluhjoch et Würenlingen.

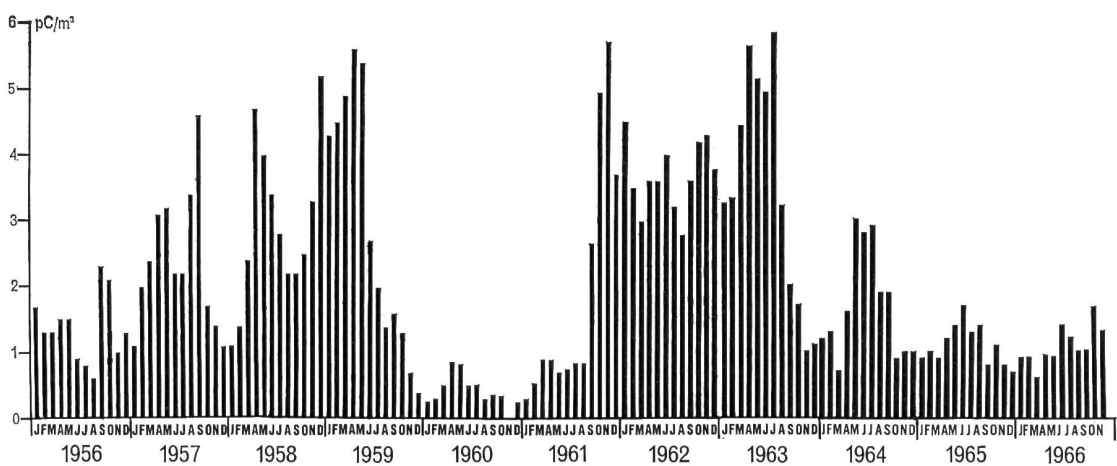


Fig. 2. Monatliche Mittelwerte der spezifischen Gesamt-Beta-Aktivität der Luft, bezogen auf 760 mm Hg und 0° C, für die Messstelle Payerne von 1956 bis 1966.

Fig. 2. Moyennes mensuelles de l'activité spécifique bêta totale de l'air, à 760 mm Hg et 0° C, mesurées à la station de Payerne de 1956 à 1966.

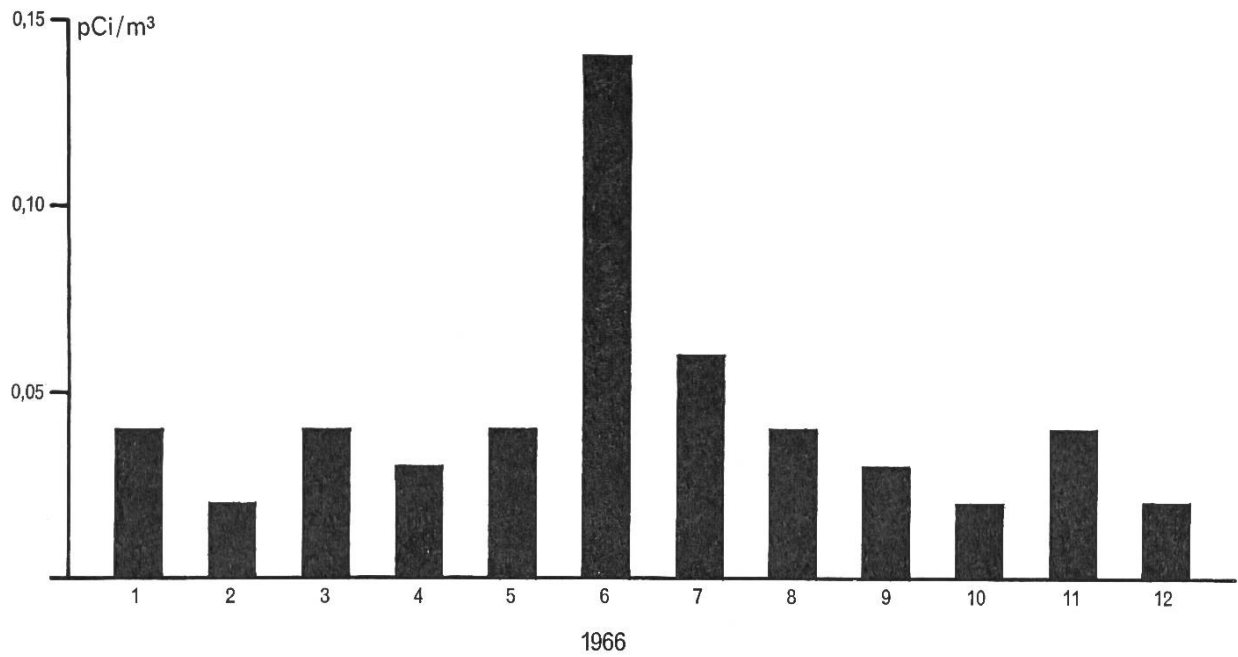


Fig. 3. Monatliche Mittelwerte der spezifischen Gesamt-Beta-Aktivität der Luft, bezogen auf 760 mm Hg und 0° C, für die Messstelle Freiburg.

Fig. 3. Moyennes mensuelles de l'activité spécifique bêta totale de l'air, à 760 mm Hg et 0° C, mesurées à la station de Fribourg.

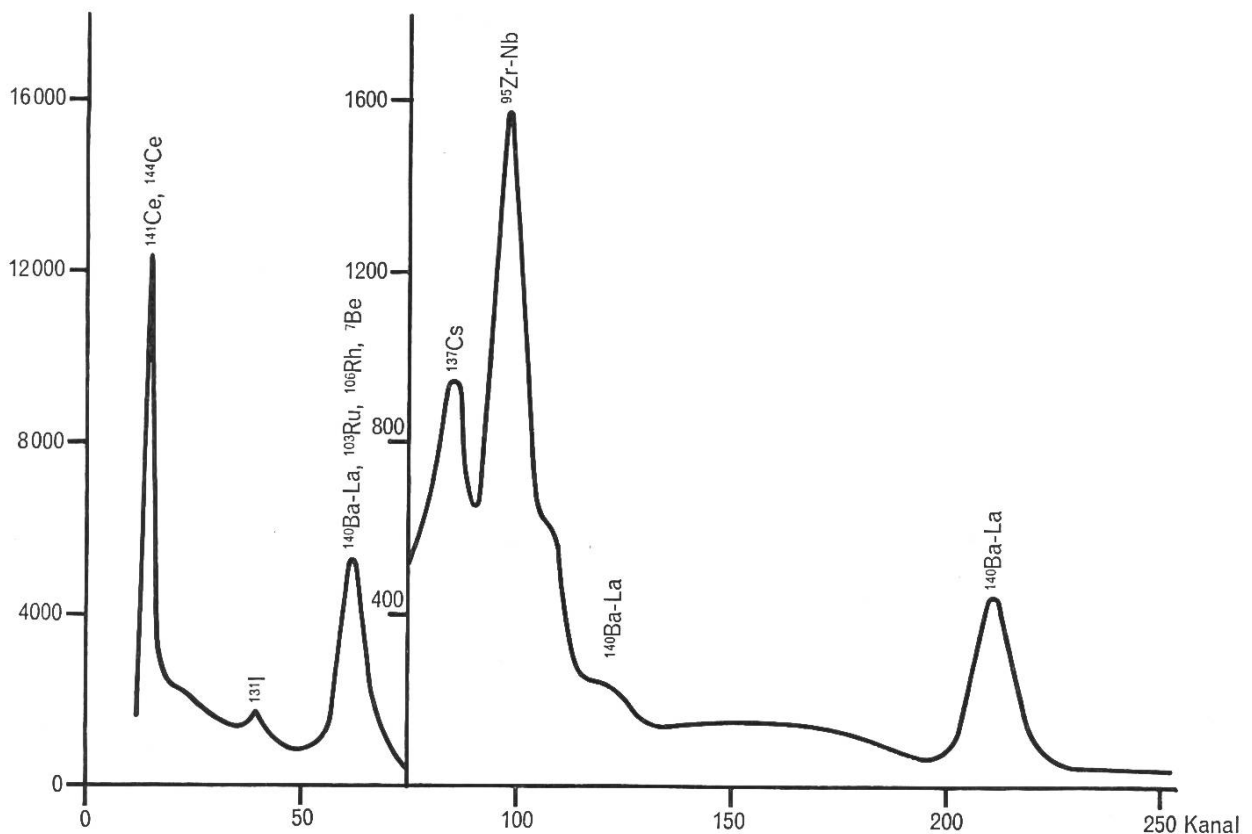


Fig. 4 a) Gammaspektrum eines Luftfilters von Freiburg, gesammelt 10.-17.6.66, gemessen 21.6.66.

Fig. 4 a) Spectre gamma d'un filtre d'air, collecté à Fribourg du 10 au 17.6.66, mesuré le 21.6.66.

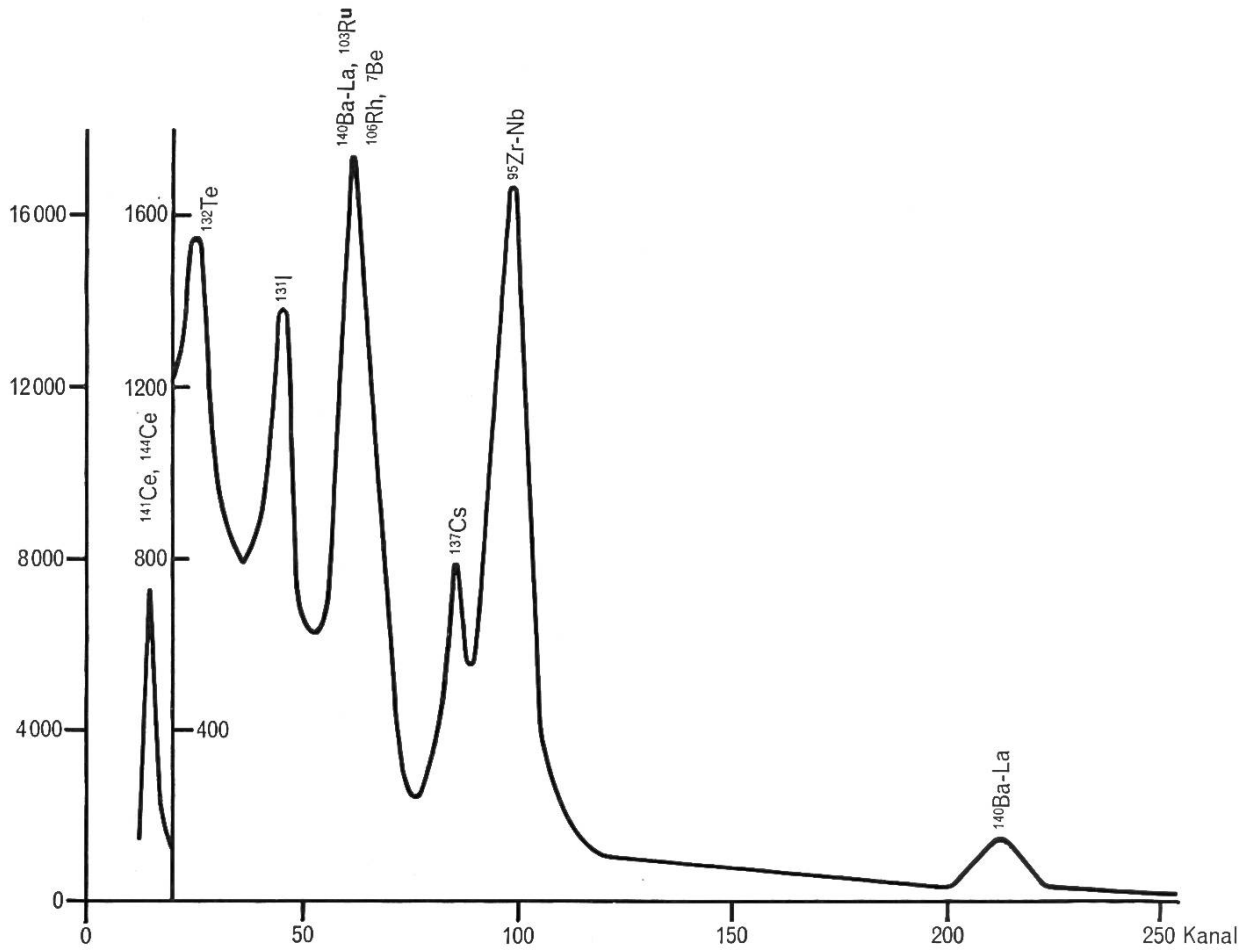


Fig. 4. b) Gammaspektrum des Niederschlags vom 23.5.66 in Freiburg, gemessen am 28.5.66.

Fig. 4. b) Spectre gamma de la précipitation du 23.5.66 à Fribourg, mesuré le 28.5.66.

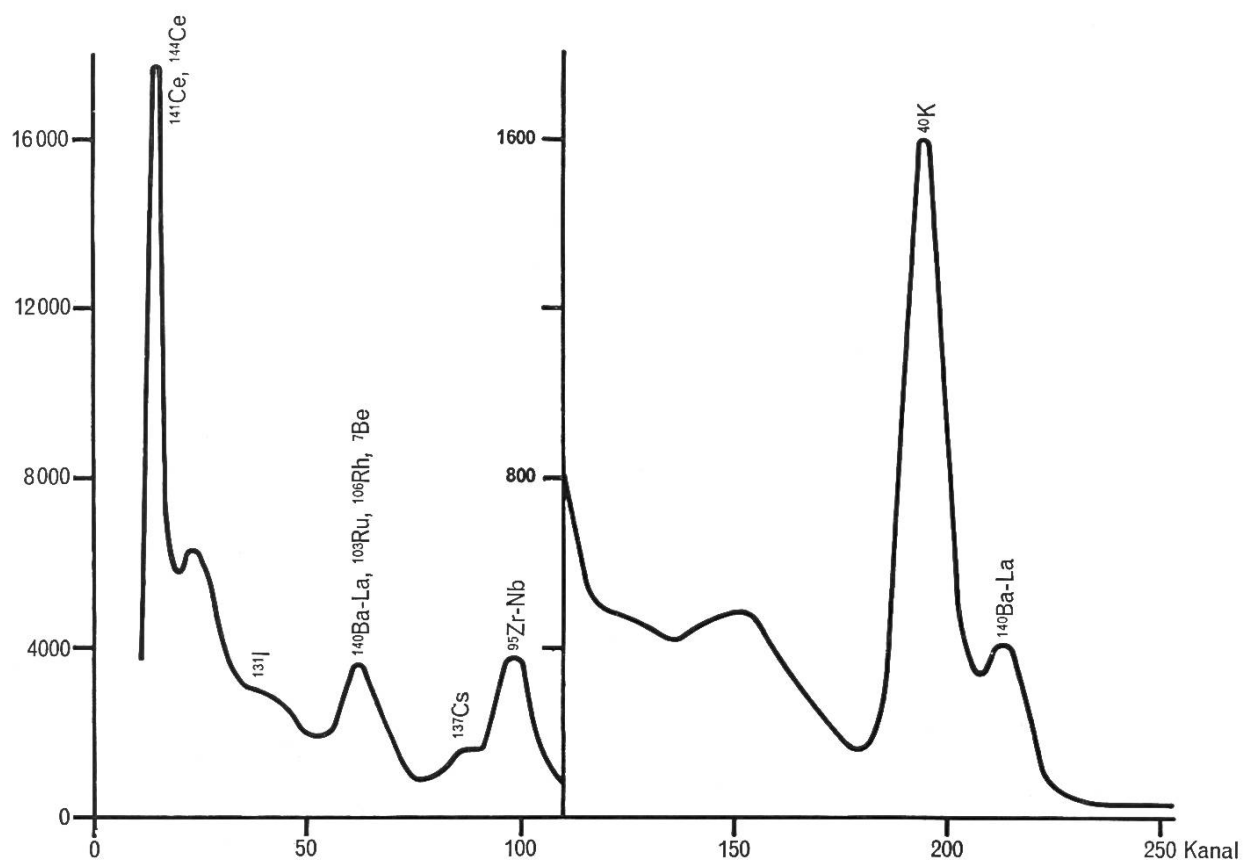


Fig. 4. c) Gammaspektrum von Gras von Grangeneuve FR, gesammelt 27.5.66, gemessen 31.5.66.

Fig. 4. c) Spectre gamma d'herbe de Grangeneuve FR, collectée le 27.5.66, mesurée le 31.5.66

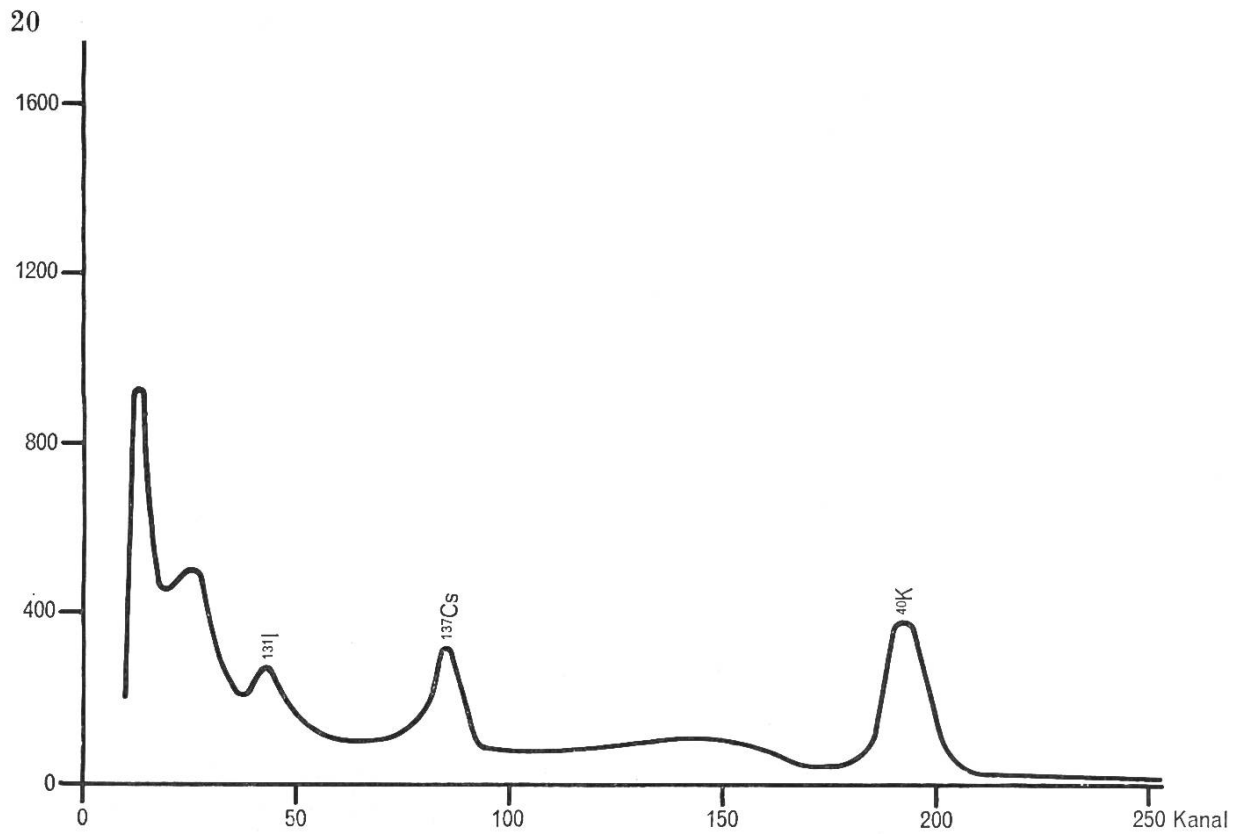


Fig. 4 d) Gammaspektrum von Milch von Grangeneuve, gesammelt 27.5.66, gemessen 28.5.66.
 Fig. 4. d) Spectre gamma de lait de Grangeneuve, collecté le 27.5.66, mesuré le 28.5.66.

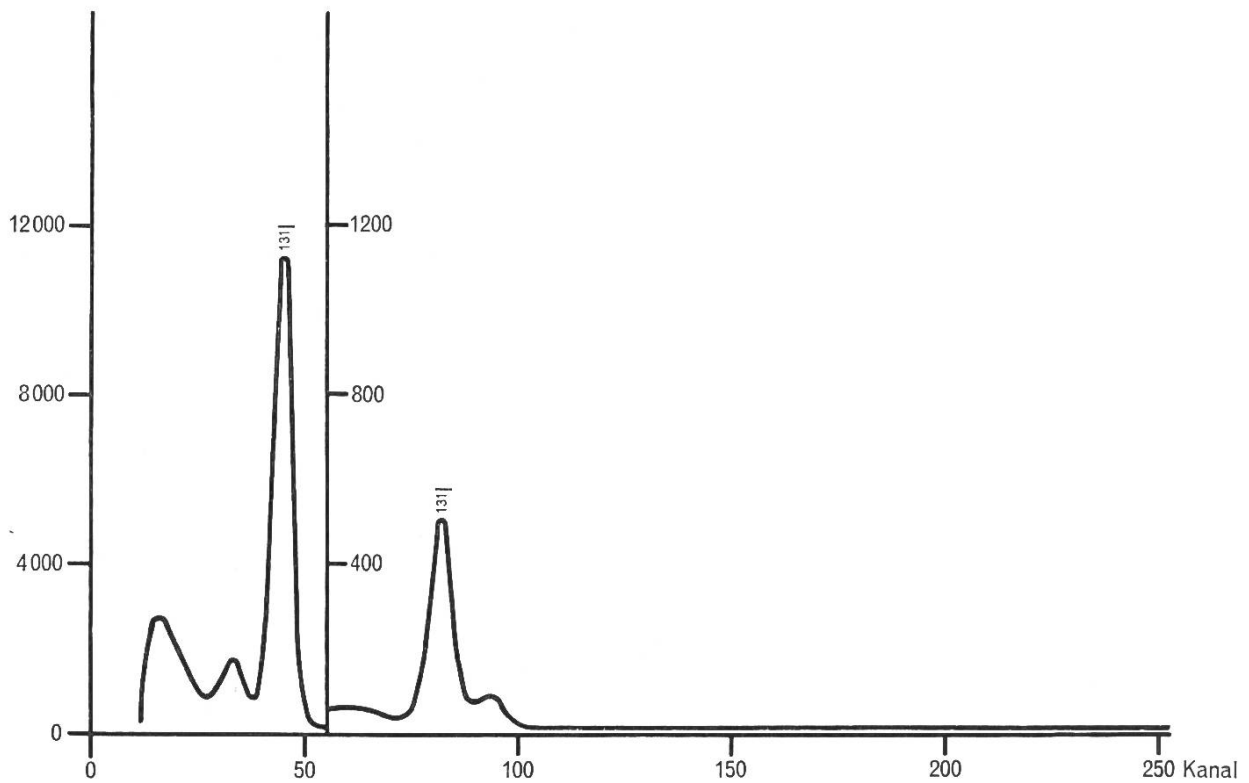


Fig. 4. e) Gammaspektrum von Schilddrüsen von Kühen (reines ^{131}I -Spektrum), geschlachtet 7.6.66, gemessen 8.6.66.
 Fig. 4. e) Spectre gamma de thyroïdes de vaches, abattues le 7.6.66, mesuré le 8.6.66.

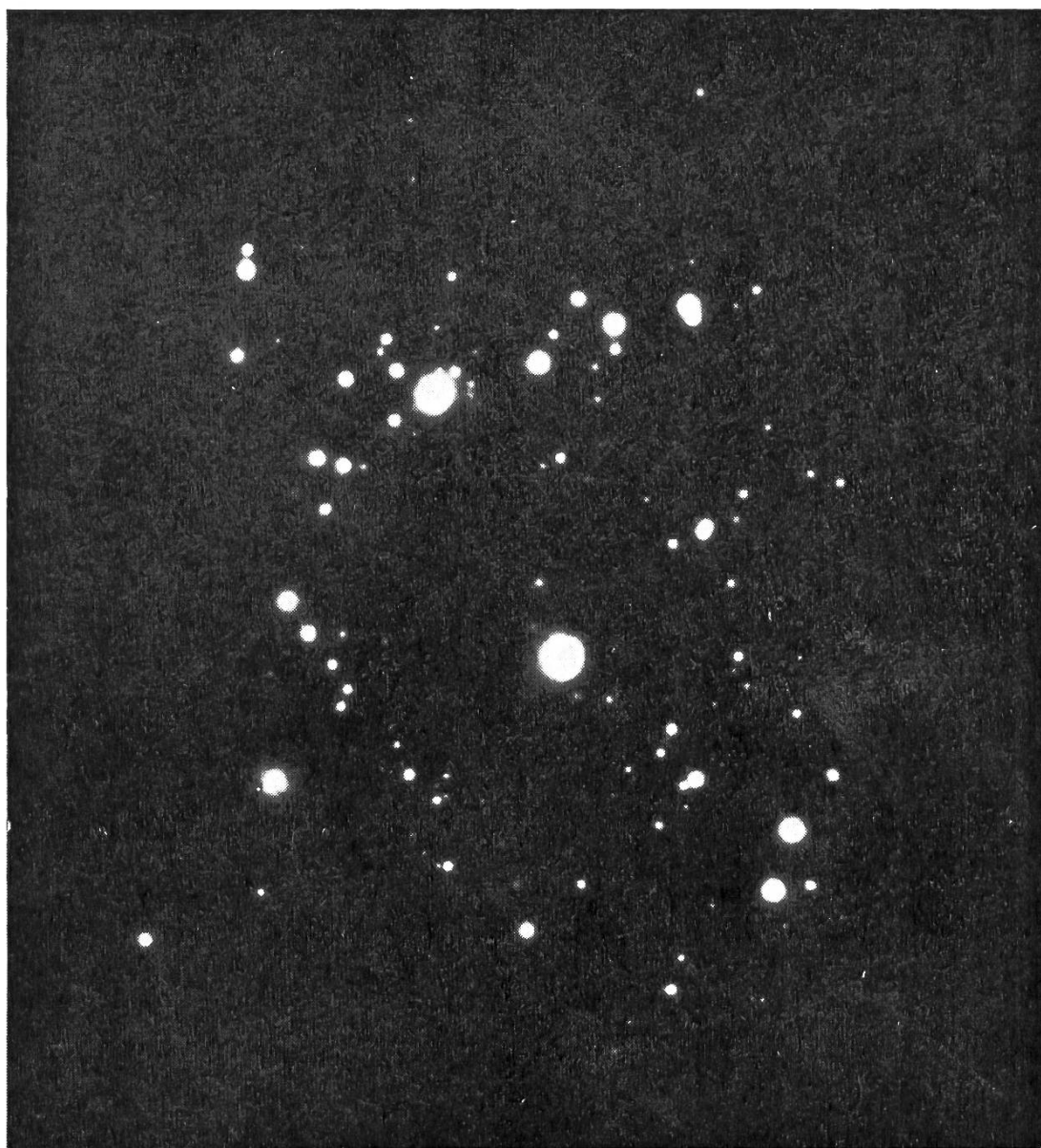


Fig. 5. Autoradiographie einer Probe aus Südamerika, gesammelt 23.7.66, exponiert 90 Stunden ab 29.7.66.

Fig. 5. Autoradiographie d'un échantillon de l'Amérique du Sud, collecté le 23.7.66, exposition 90 h dès le 29.7.66.

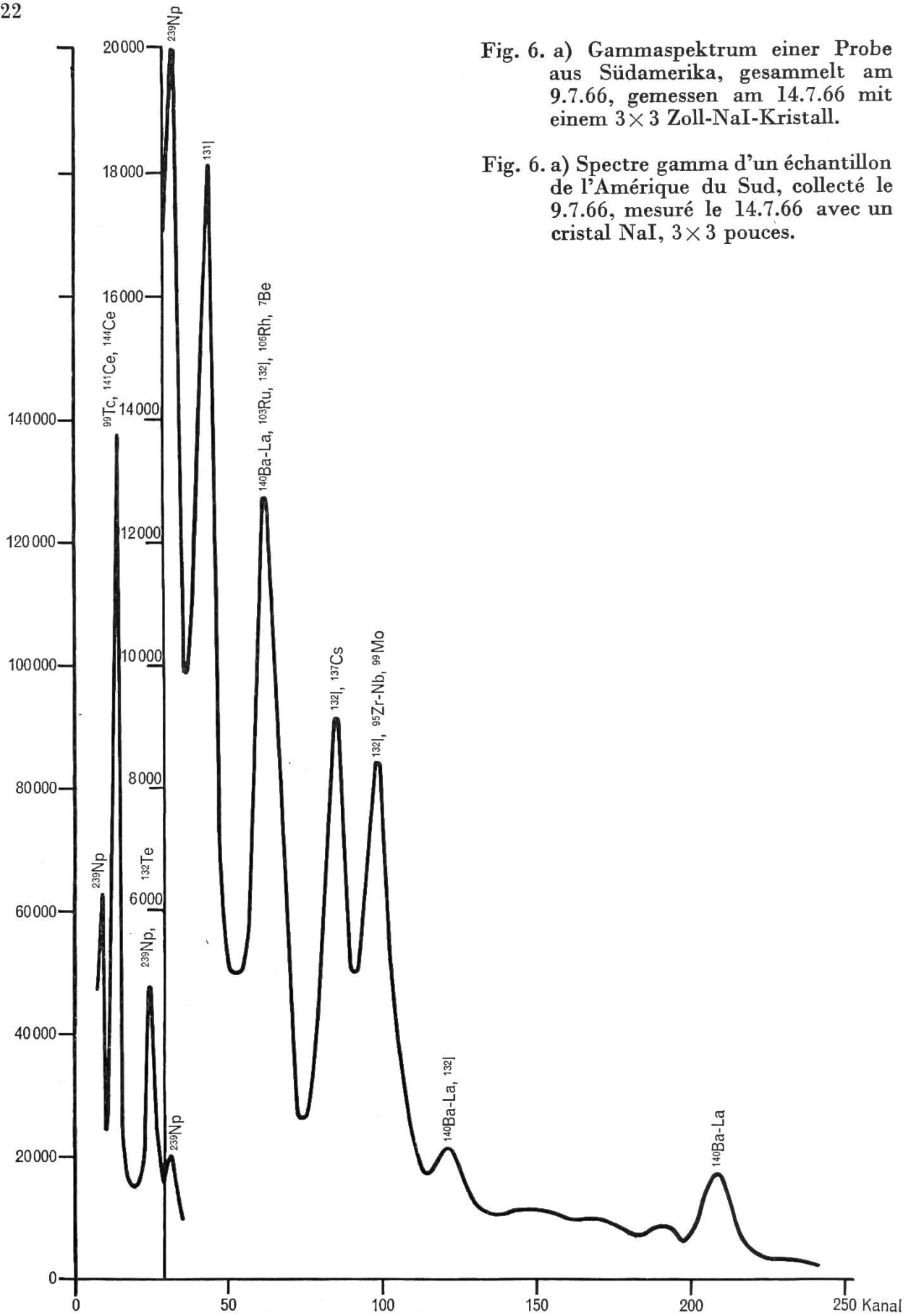


Fig. 6. a) Gammaspektrum einer Probe aus Südamerika, gesammelt am 9.7.66, gemessen am 14.7.66 mit einem 3×3 Zoll-NaI-Kristall.

Fig. 6. a) Spectre gamma d'un échantillon de l'Amérique du Sud, collecté le 9.7.66, mesuré le 14.7.66 avec un cristal NaI, 3×3 pouces.

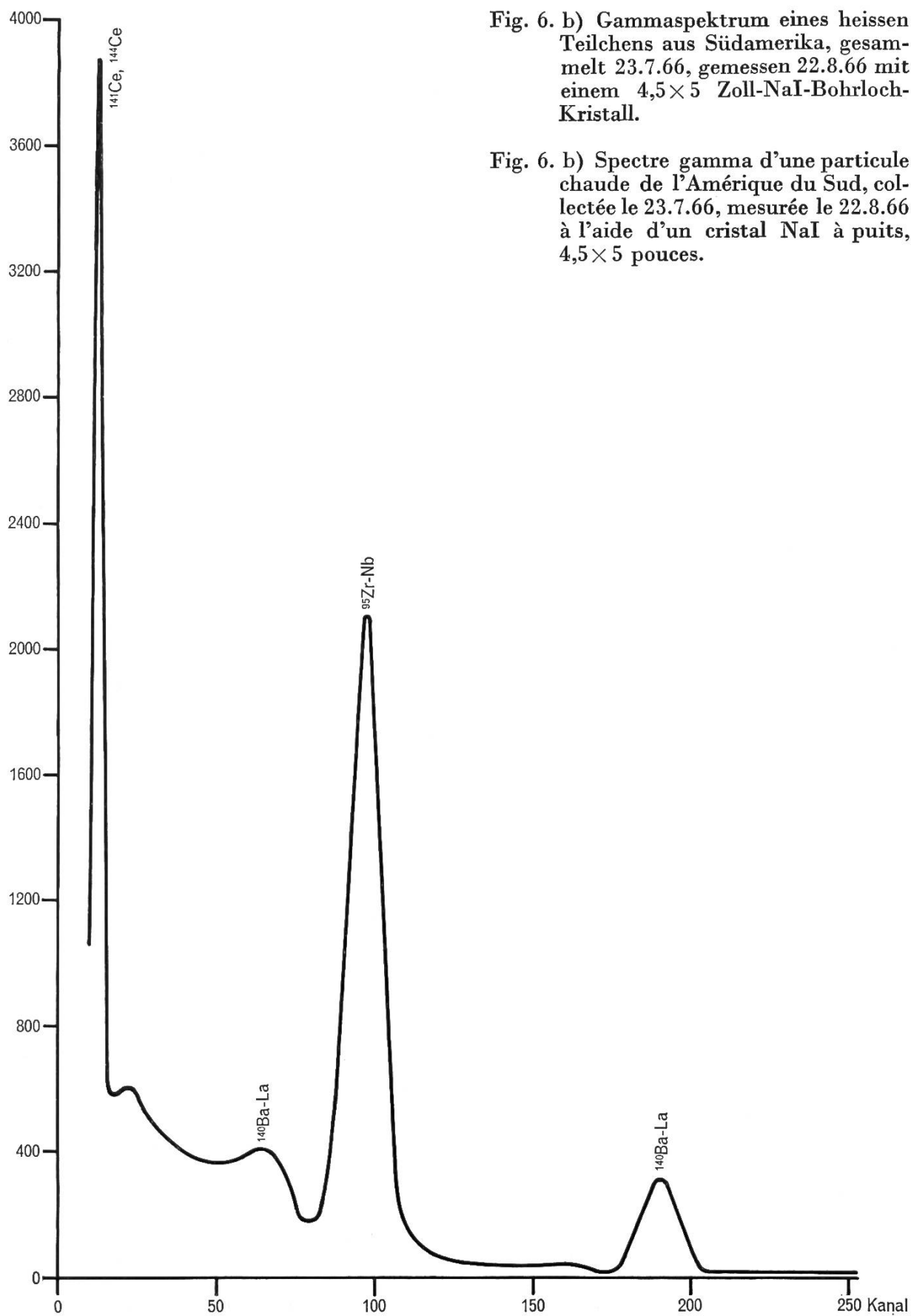


Fig. 6. b) Gammasktrum eines heissen Teilchens aus Södamerika, gesammelt 23.7.66, gemessen 22.8.66 mit einem $4,5 \times 5$ Zoll-NaI-Bohrloch-Kristall.

Fig. 6. b) Spectre gamma d'une particule chaude de l'Amérique du Sud, collectée le 23.7.66, mesurée le 22.8.66 à l'aide d'un cristal NaI à puits, $4,5 \times 5$ pouces.

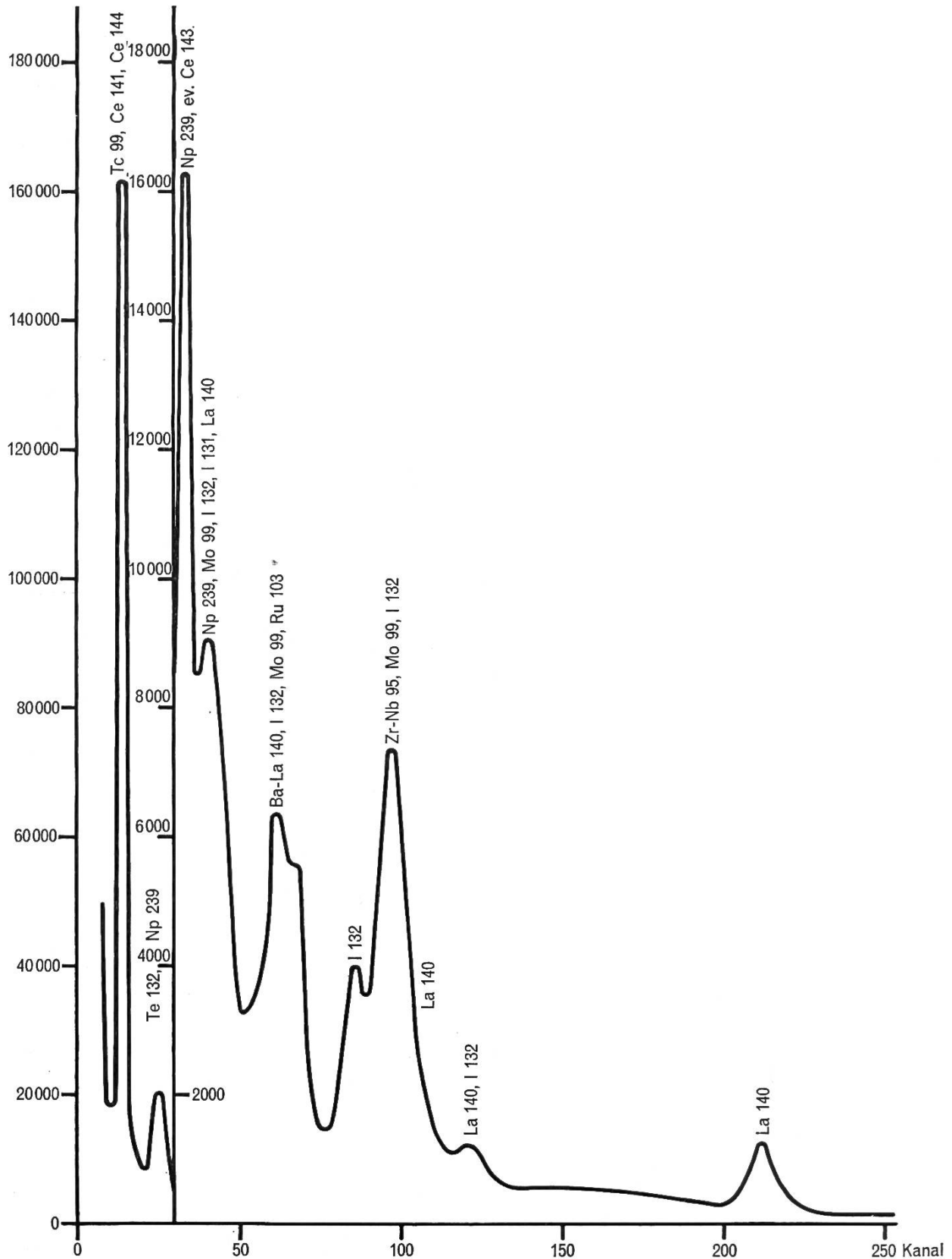
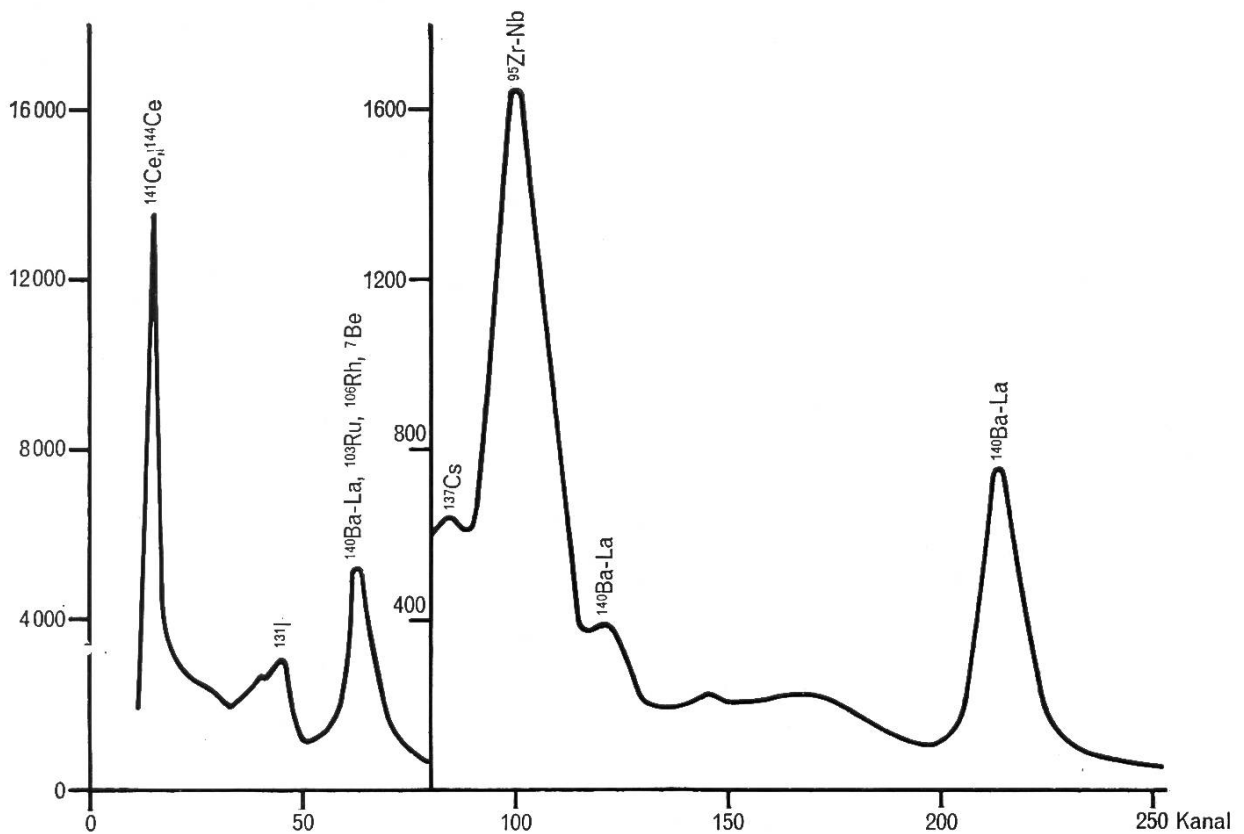
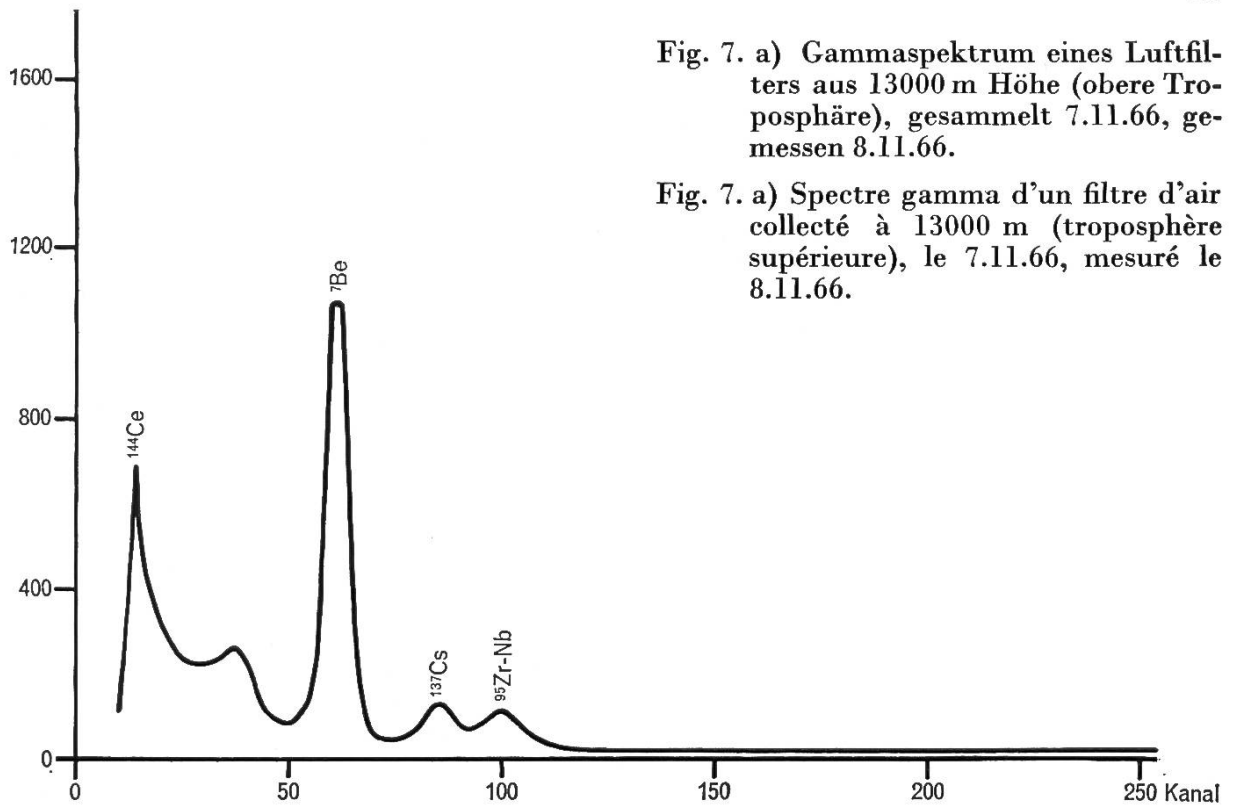


Fig. 6. c) Gammaspectrum einer Probe aus Südamerika, gesammelt am 23.7.66, gemessen am 26.6.66 mit einem 3×3 -Zoll-NaI-Kristall.

Fig. 6. c) Spectre gamma d'un échantillon de l'Amérique du Sud, collecté le 23.7.66, mesuré le 26.7.66 avec un cristal NaI, 3×3 pouces.



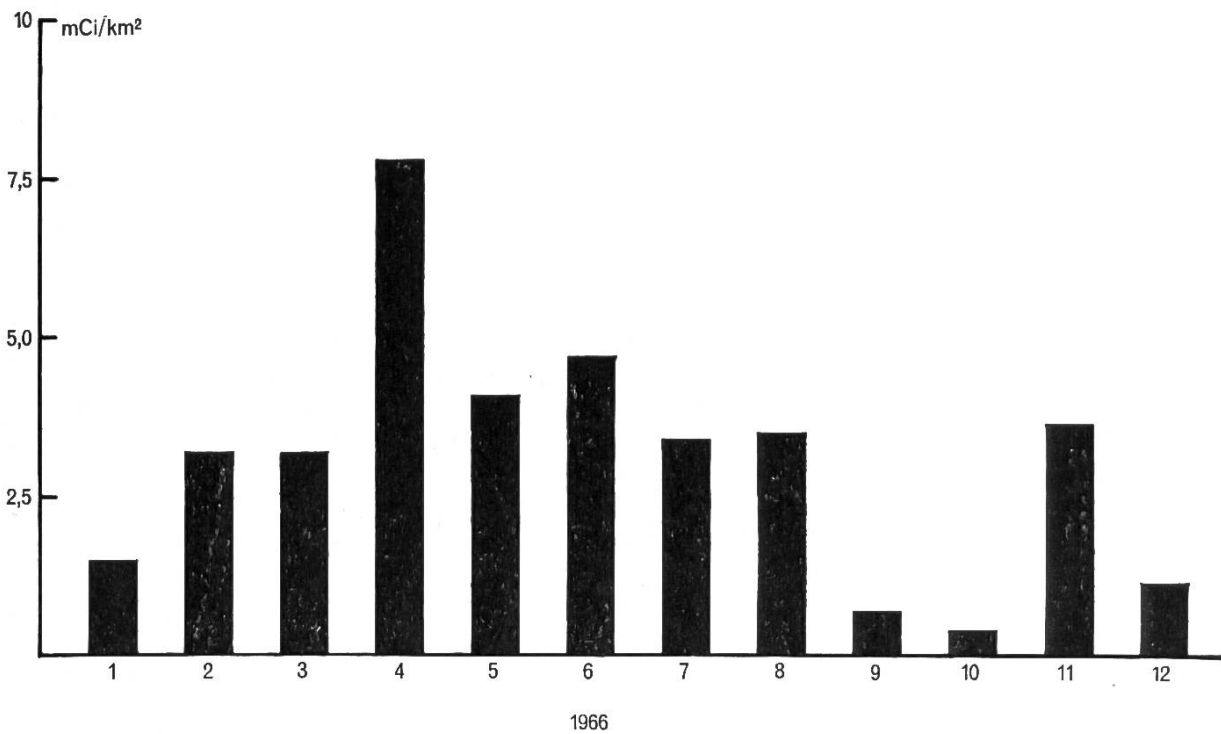
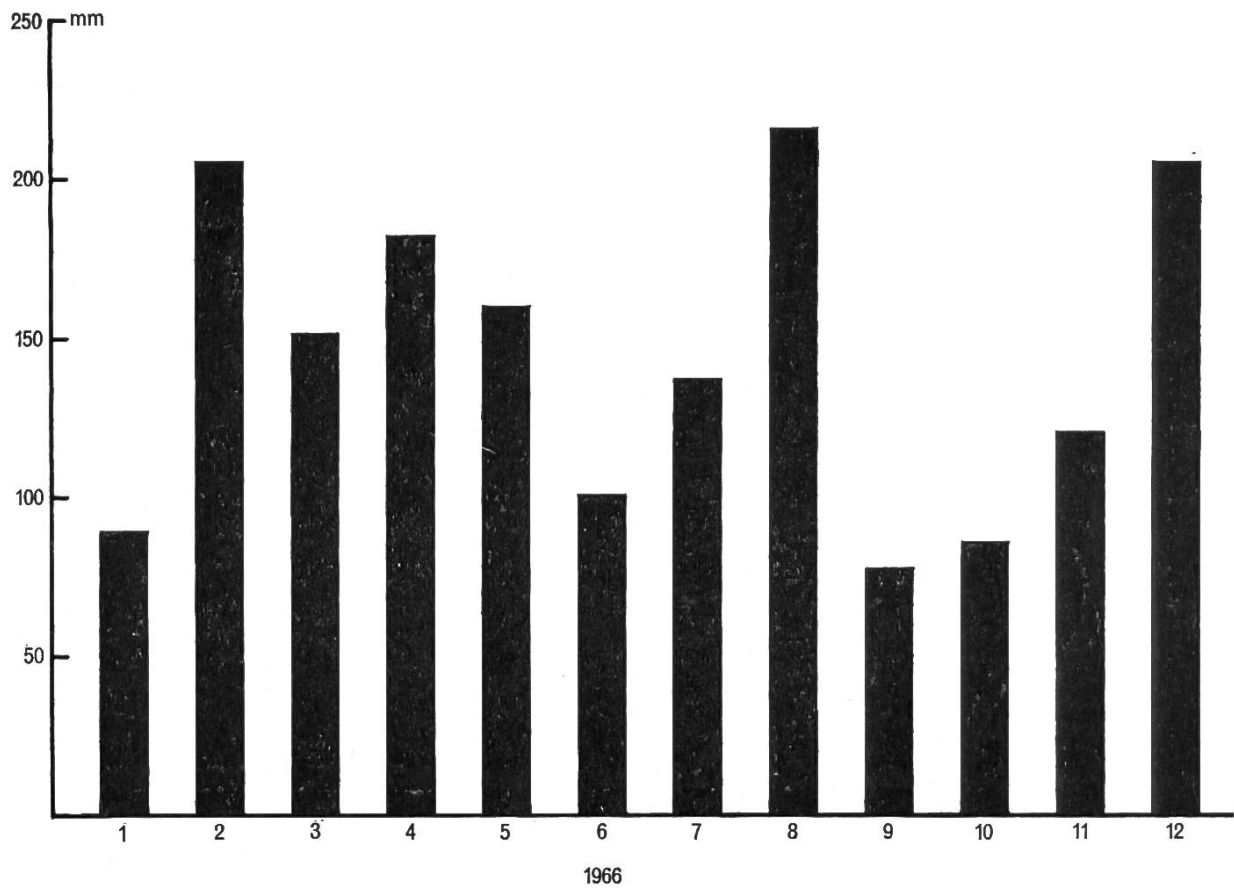
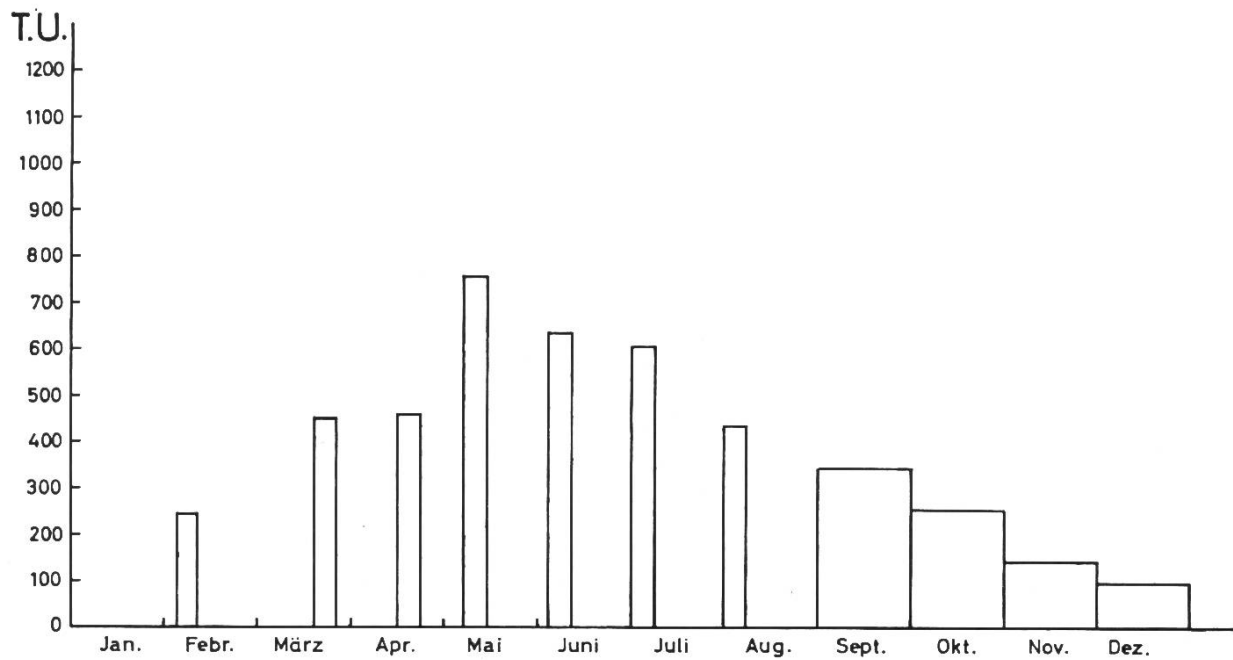


Fig. 8. Monatliche Niederschlagsmenge (oben) und monatliche, dem Erdboden durch Niederschlag zugeführte Gesamt-Beta-Aktivität pro km² Bodenfläche (unten) für die Messstelle Valsainte.

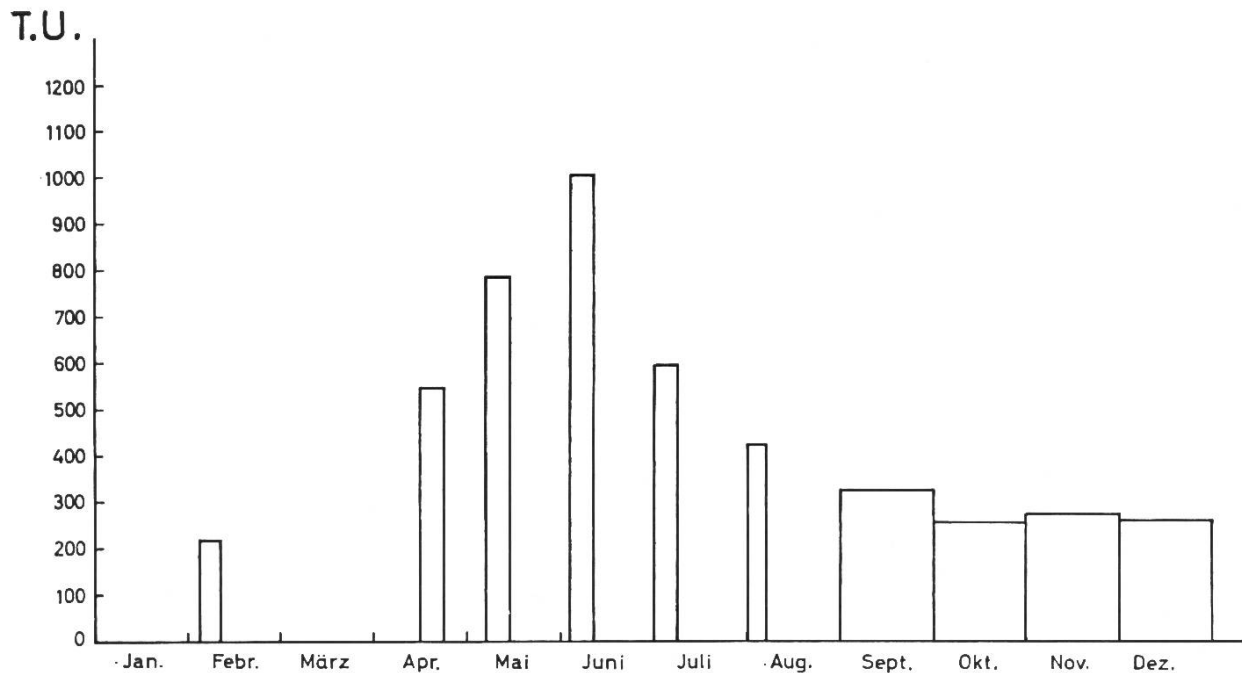
Fig. 8. Quantité mensuelle des précipitations (en haut) et activité bêta totale accumulée mensuellement par km² au sol par les précipitations (en bas) pour la station de la Valsainte.

Arenenberg



1966

Davos

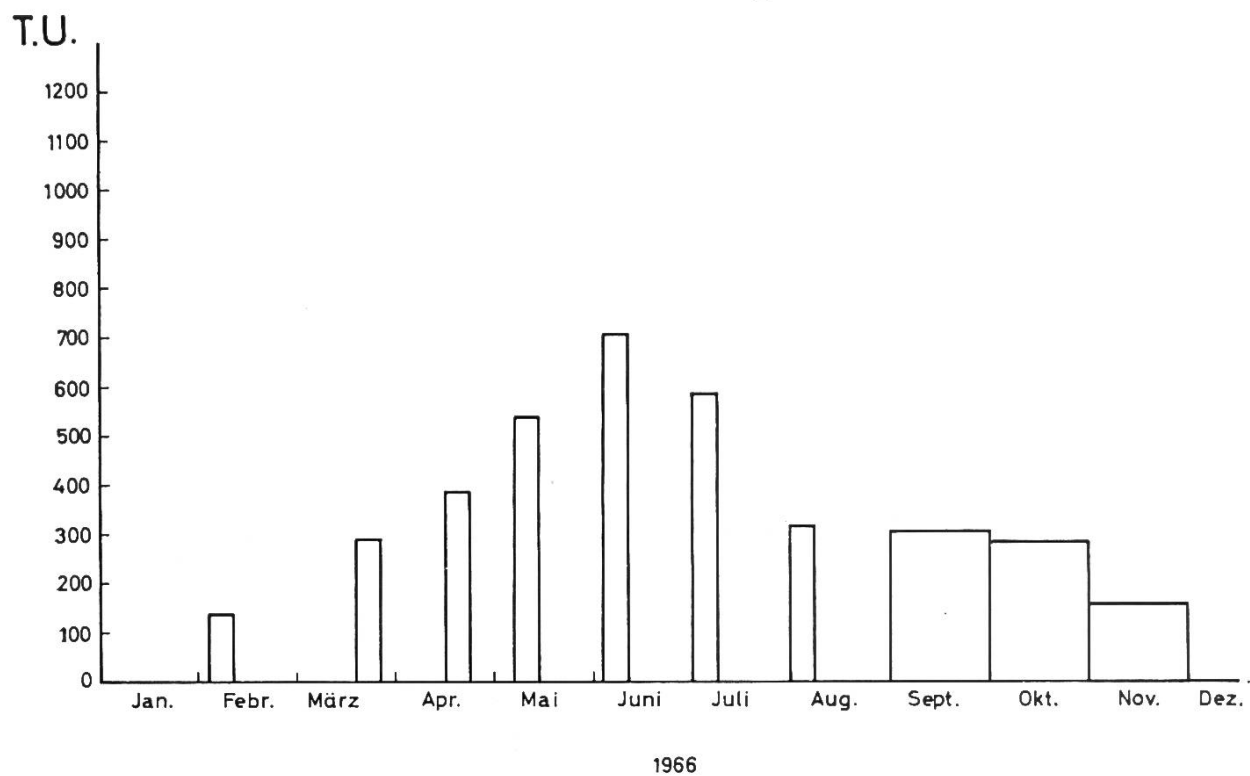


1966

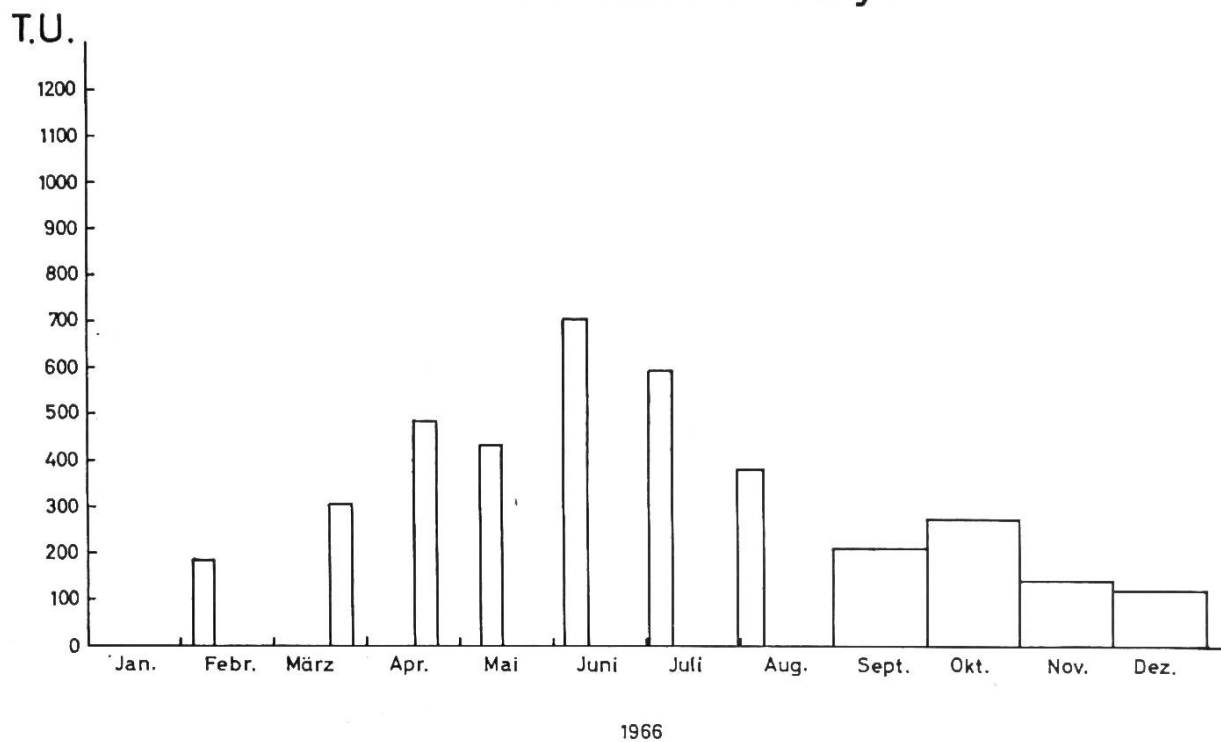
Fig. 9. a-f) Tritiumkonzentration im Regenwasser von Arenenberg, Davos, Freiburg, Hauts-Geneveys, Locarno und Valsainte im Jahre 1966, Einheit: 1 T.U. = 10^{-18} Tritium-Atome/Wasserstoffatom.

Fig. 9. a-f) Teneur en tritium de l'eau de pluie d'Arenenberg, Davos, Fribourg, Hauts-Geneveys, Locarno et de la Valsainte, en 1966. Valeurs en unités tritium (T.U.) 1 T.U. = 10^{-18} atomes ^3H par 1 atome ^1H .

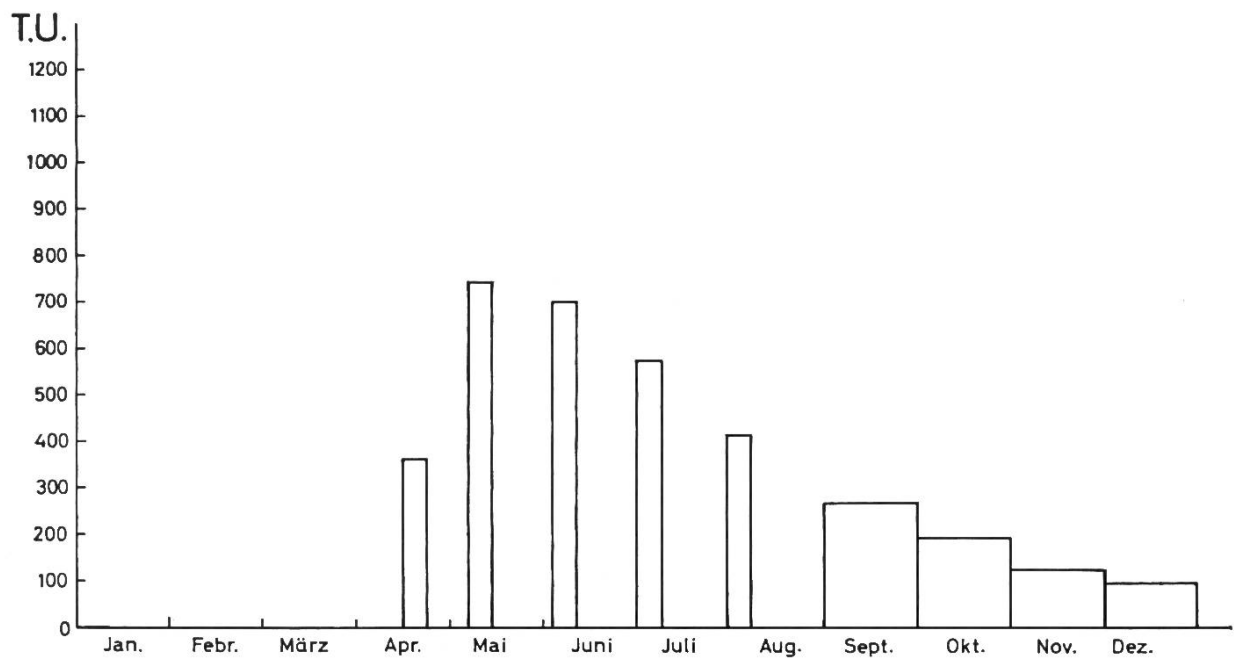
Freiburg



Les Hauts-Geneveys

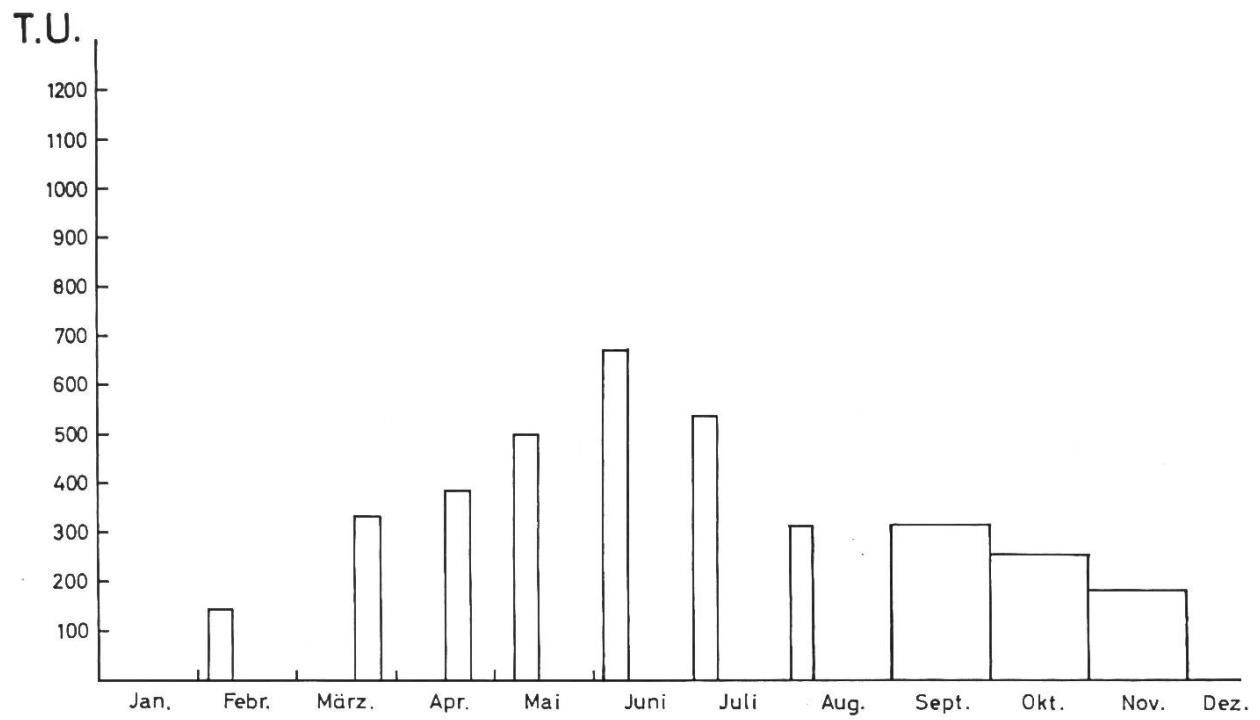


Locarno



1966

La Valsainte



1966

Aetzrütti

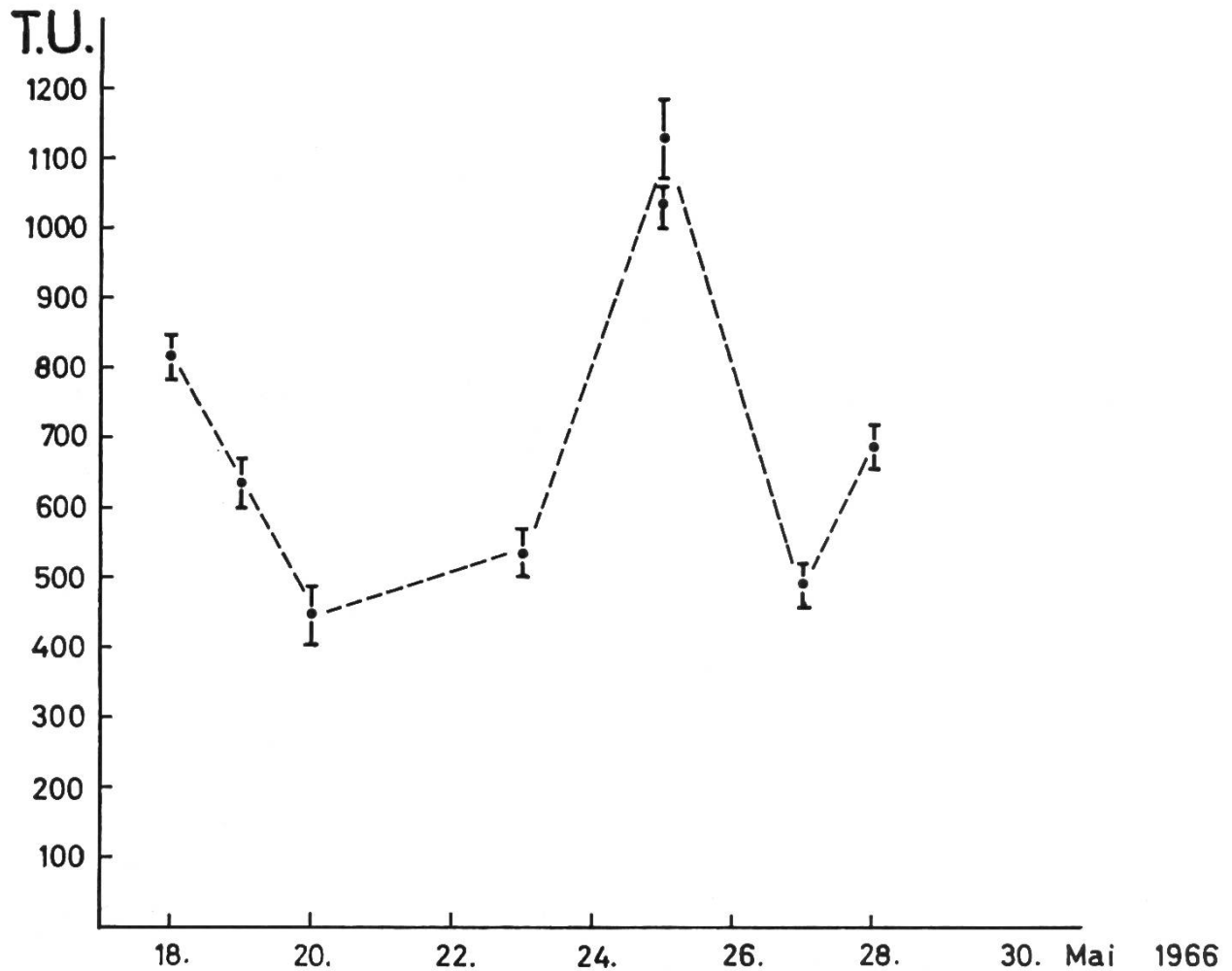


Fig. 9. g) Tritiumkonzentration von Regenproben aus Aetzrütti (BE) aus der Zeit vom 18.-28.5.66.

Fig. 9. g) Teneur en tritium d'échantillons d'eau de pluie d'Aetzrütti (BE) de la période du 18 au 28.5.1966.

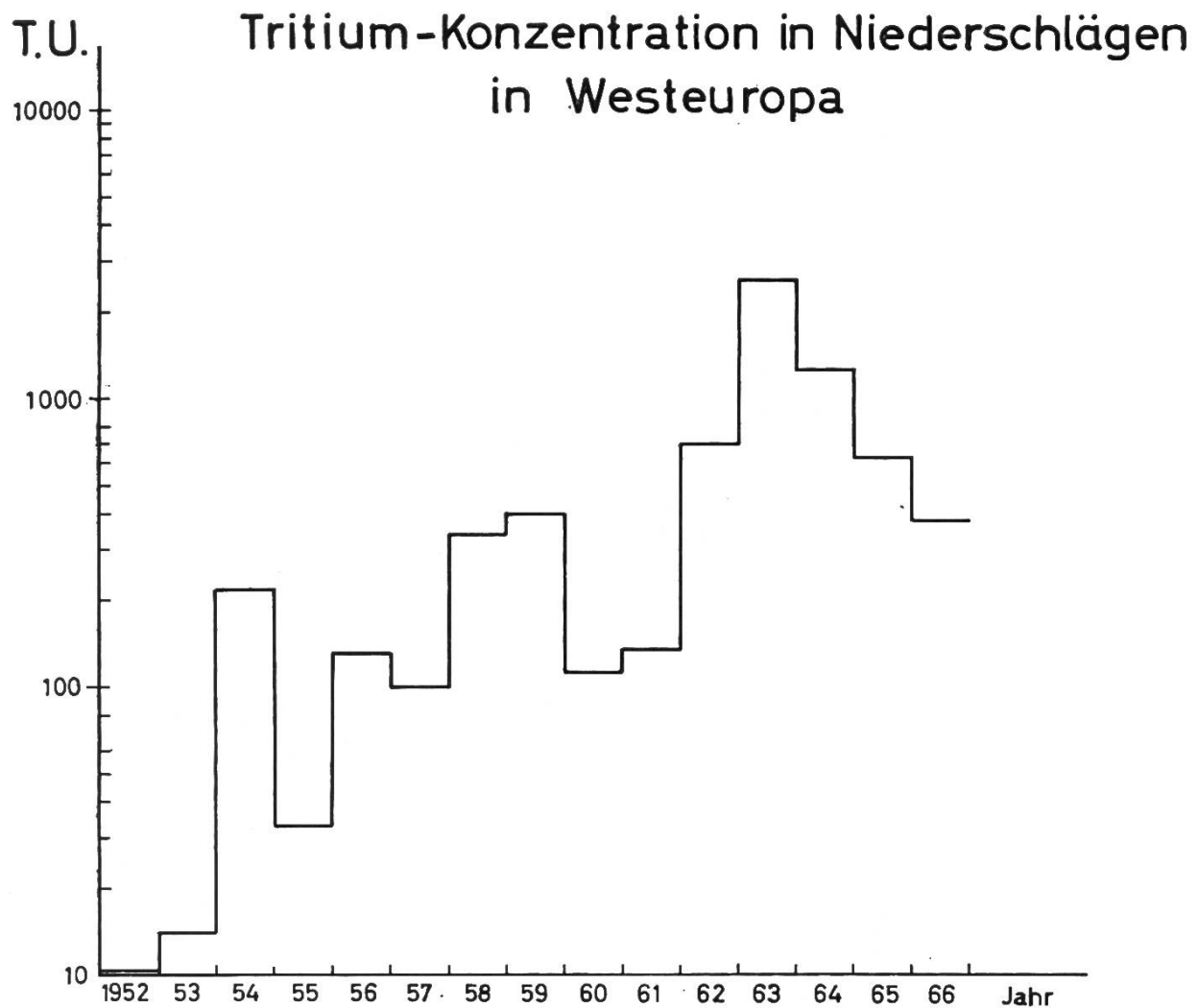


Fig. 9. h) Jahresmittel der Tritiumkonzentration in den Niederschlägen von Westeuropa. Die Daten bis 1962 stammen von K.O. Münnich und W. Roether, IAEA-Symposium on Radioisotopes in Hydrology, Tokyo, 1963; ab 1963 von K.O. Münnich und H. Oeschger.

Fig. 9. h) Moyennes annuelles de la teneur en tritium des précipitations de l'Europe occidentale. Les valeurs jusqu'à 1962 sont de K.O. Münnich et W. Roether, IAEA-Symposium on Radioisotopes in Hydrology, Tokyo, 1963; dès 1963 de K.O. Münnich et H. Oeschger.

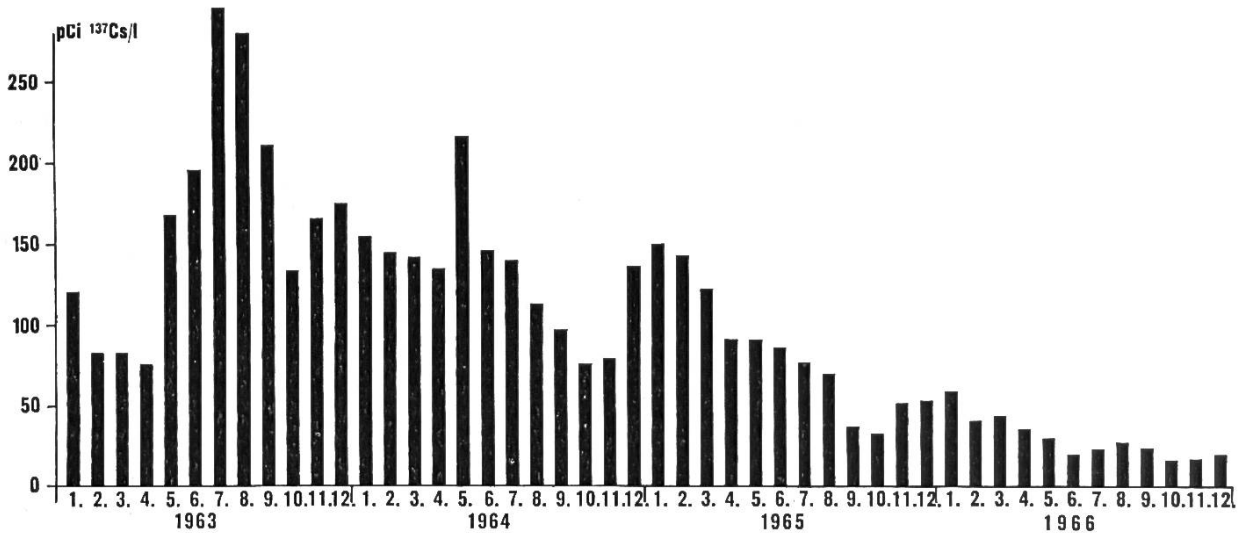
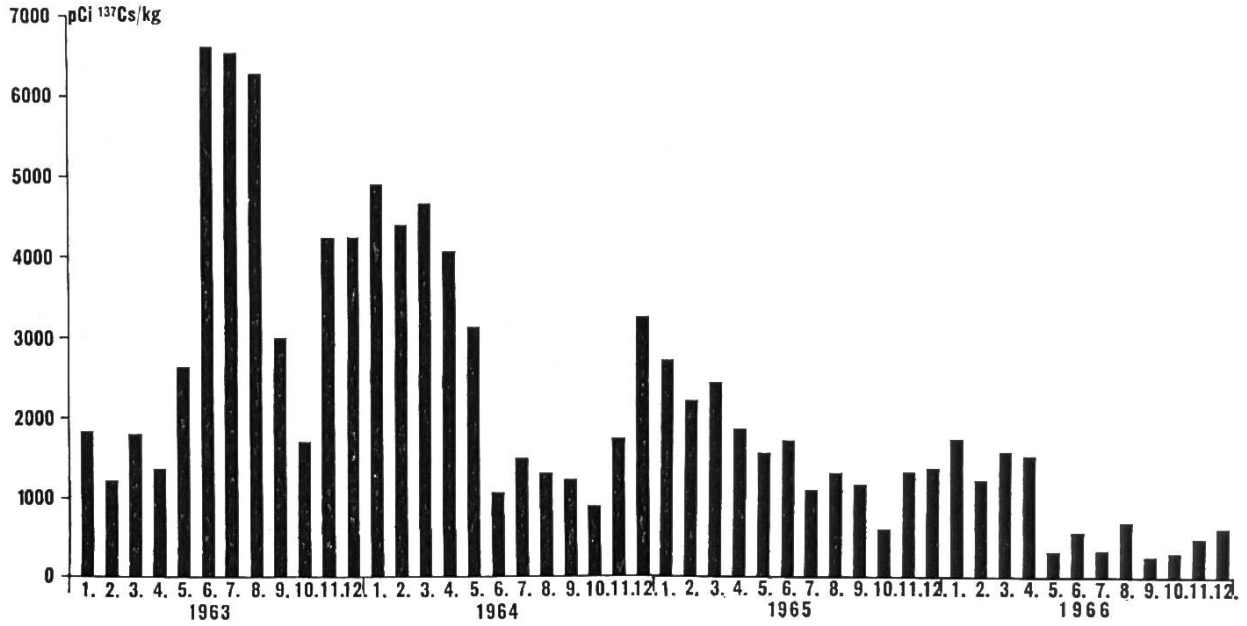


Fig. 10. Oben: Cs-137-Gehalt von Viehfutter (monatliche Probenahme), Ostschweiz 1963–1966.

Unten: Cs-137-Gehalt von Milch (monatliche Probenahme zwei Tage nach derjenigen des Futters), Ostschweiz 1963–1966.

Fig. 10. En haut: Teneur en Cs-137 du fourrage (prélèvement mensuel d'échantillons), Suisse orientale 1963–1966.

En bas: Teneur en Cs-137 du lait (prélèvement mensuel d'échantillons), Suisse orientale 1963–1966.

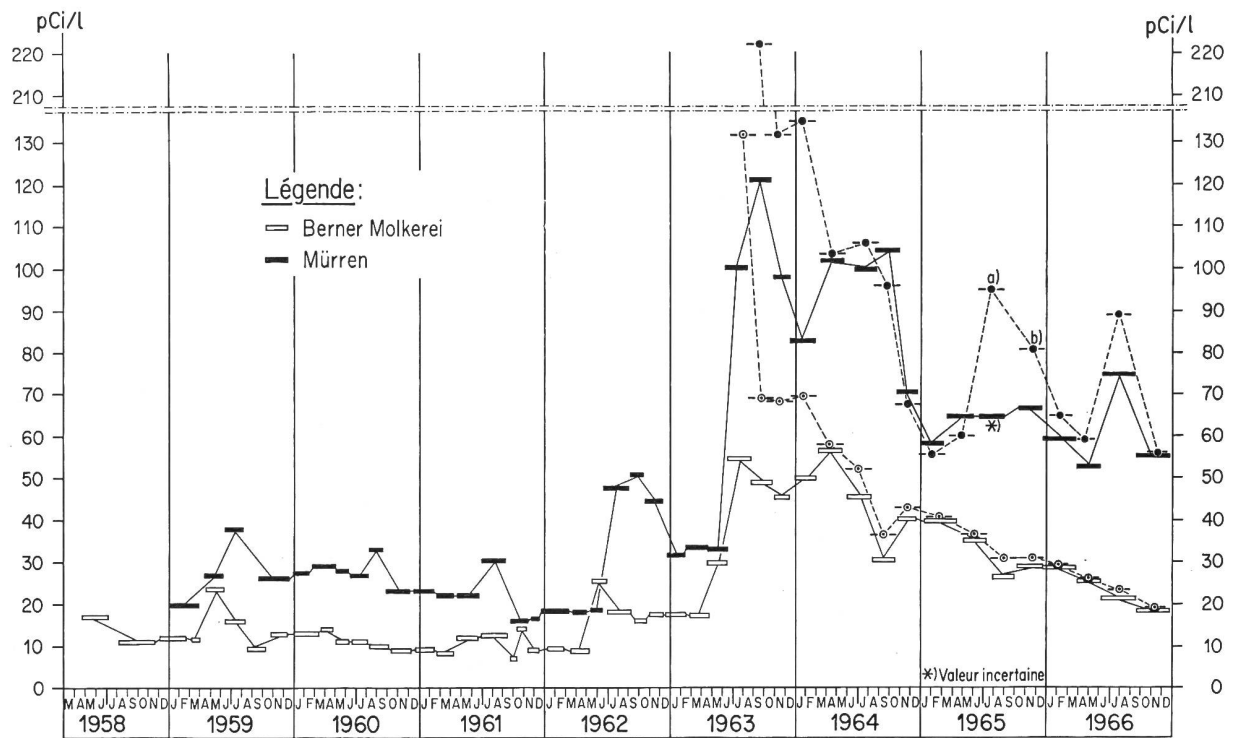


Fig. 11. Spezifische Strontium-90-Aktivität von Frischmilch aus dem Flachland (Bern 540 m) und aus einer Höhenlage (Mürren 1650 m) für die Jahre 1958–1966. Einheit: Picocurie pro Liter Milch.

Fig. 11. Activité spécifique du strontium-90 dans le lait frais de plaine (Berne 540 m) et de montagne (Mürren 1650 m) pour les années 1958–1966. Unité: picocuries par litre de lait.

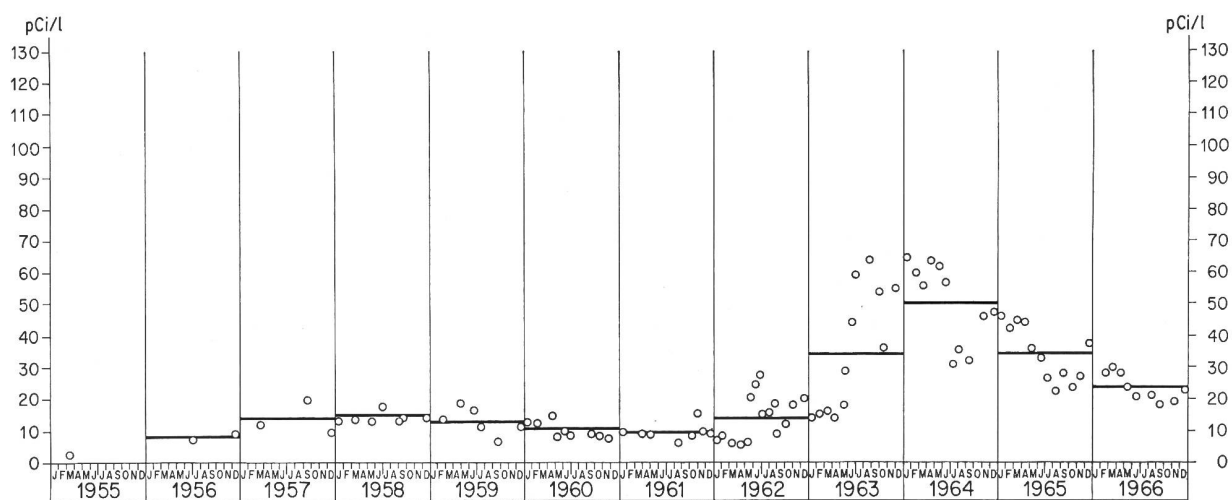


Fig. 12. Spezifische Strontium-90-Aktivität von Trockenmilch (Flachland) seit 1955 in Picocurie pro Liter Milch.

Fig. 12. Activité spécifique du strontium-90 dans le lait en poudre (plaine) depuis 1955 en picocuries par litre de lait.

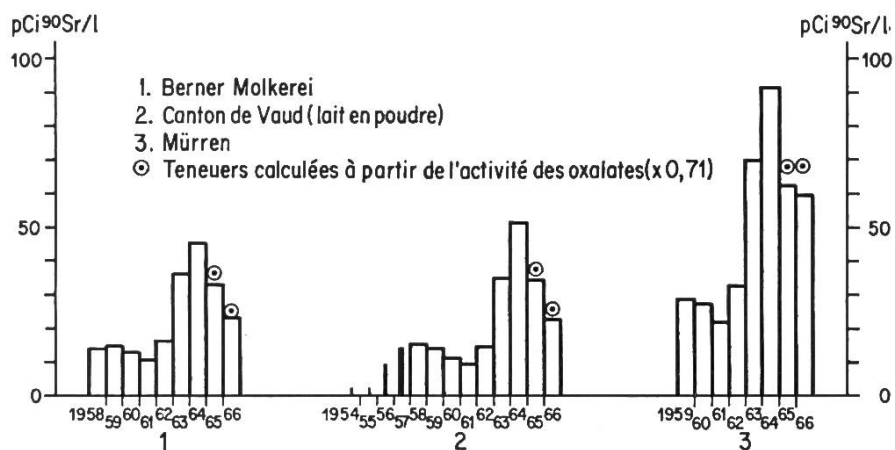


Fig. 13. a) Spezifische Strontium-90-Aktivität der Milch von den drei Probestellen Berner Molkerei, Kanton Waadt und Mürren.

Fig. 13. a) Activité spécifique du strontium-90 du lait des trois provenances: Laiteries bernoises, canton de Vaud, Mürren.

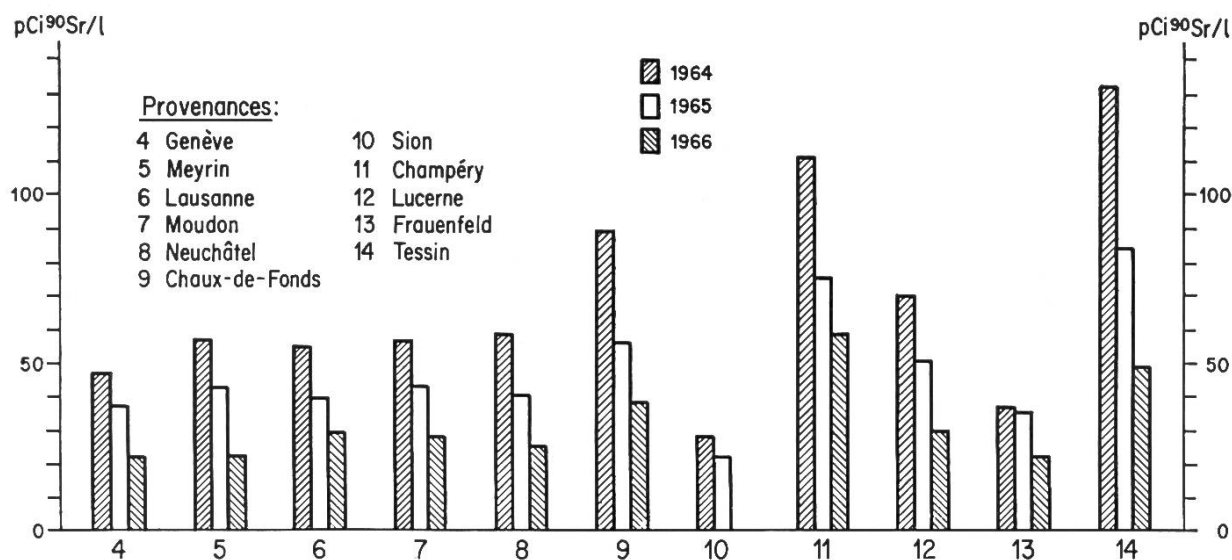


Fig. 13. b) Spezifische Strontium-90-Aktivität der Milch von 11 weiteren Probestellen.

Fig. 13. b) Activité spécifique du strontium-90 du lait de onze autres provenances.

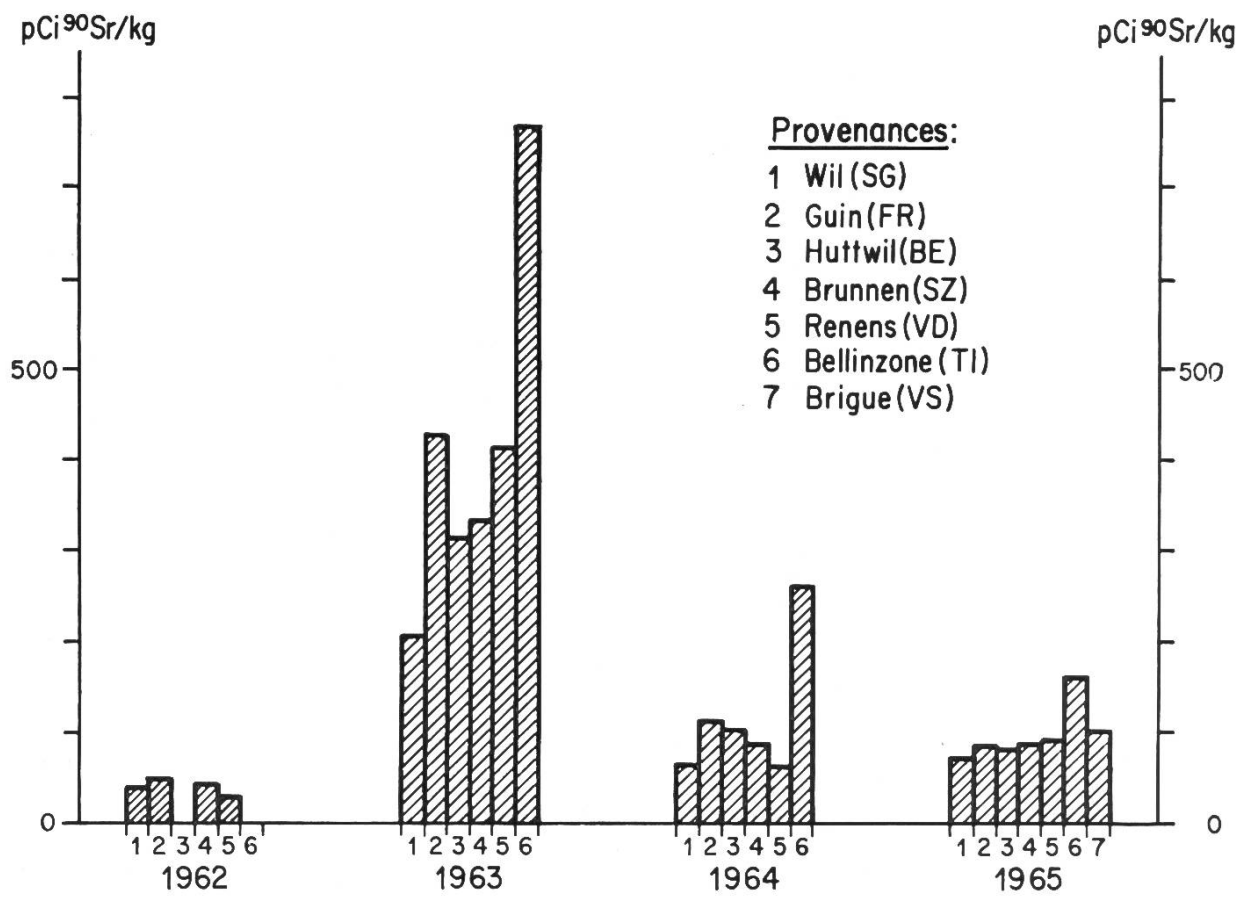


Fig. 14. Spezifische Strontium-90-Aktivität von Weizen, Ernten 1962–1965 von 7 Herkunftsstellen.

Fig. 14. Activité spécifique du strontium-90 du froment de 7 provenances pour les récoltes 1962–1965.

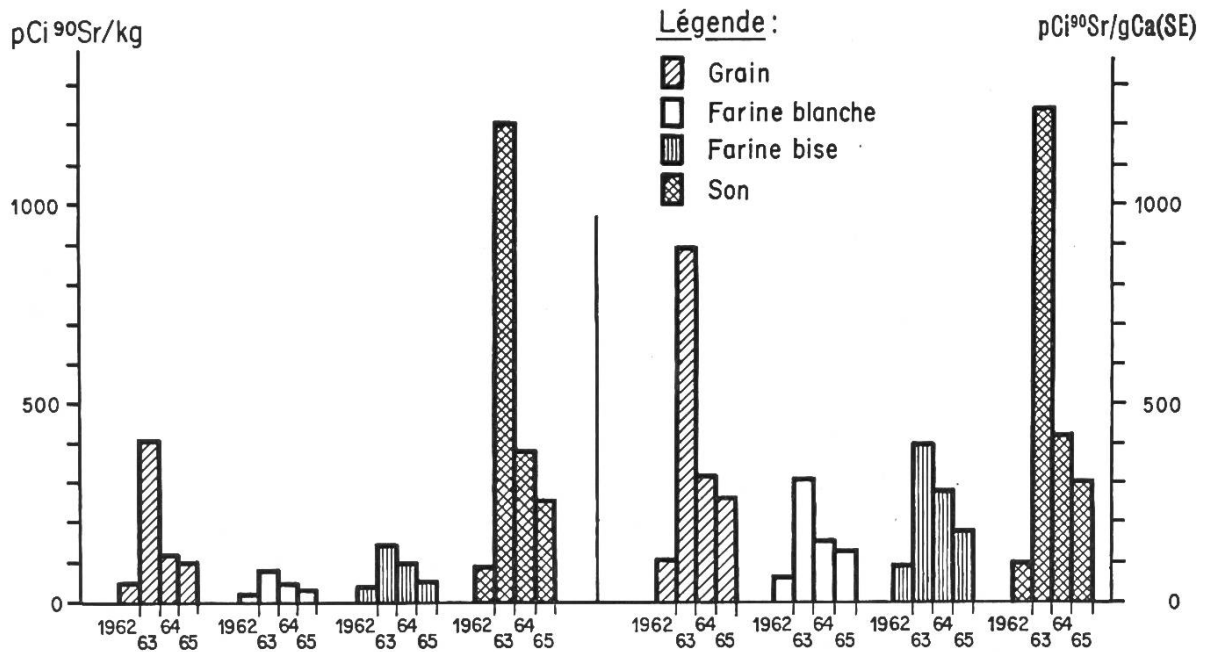


Fig. 15. Spezifische Strontium-90-Aktivität von Weizen und Weizen-Mahlprodukten gemittelt über die Herkunftsstellen Wil, Düdingen, Huttwil, Brunnen, Renens, Bellinzona und Brig für die Jahre 1962–1965.

Fig. 15. Activité spécifique du strontium-90 du froment et ses produits de mouture; moyennes des provenances Wil, Guin, Huttwil, Brunnen, Renens, Bellinzona et Brigue, pour les années 1962–1965.

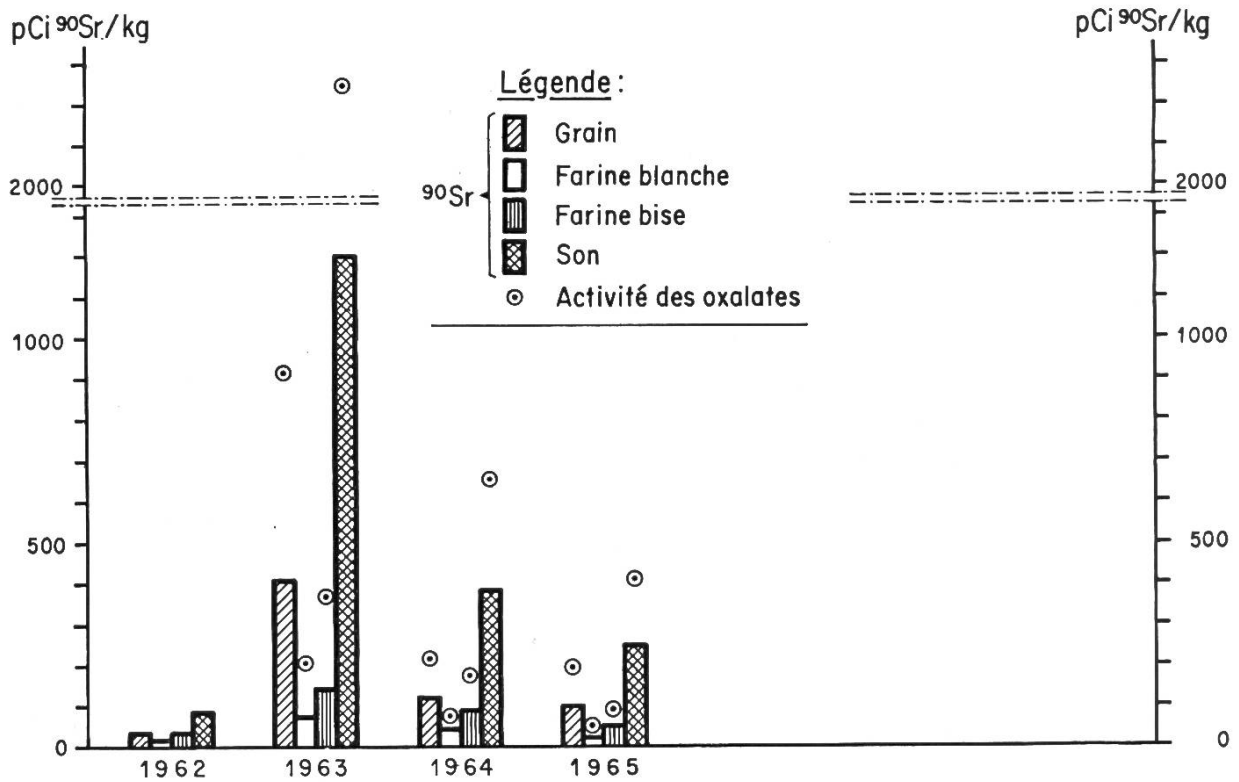


Fig. 16. Spezifische Strontium-90-Aktivität und spezifische Oxalat-Aktivität von Weizen- und Weizenmahlprodukten; Mittelwerte aus den zu Fig. 15 genannten Herkunftsstellen für die Jahre 1962–1965.

Fig. 16. Activité spécifique du strontium-90 et activité spécifique des oxalates du froment et ses produits de mouture; moyennes des provenances mentionnées en figure 15, pour les années 1962–1965.

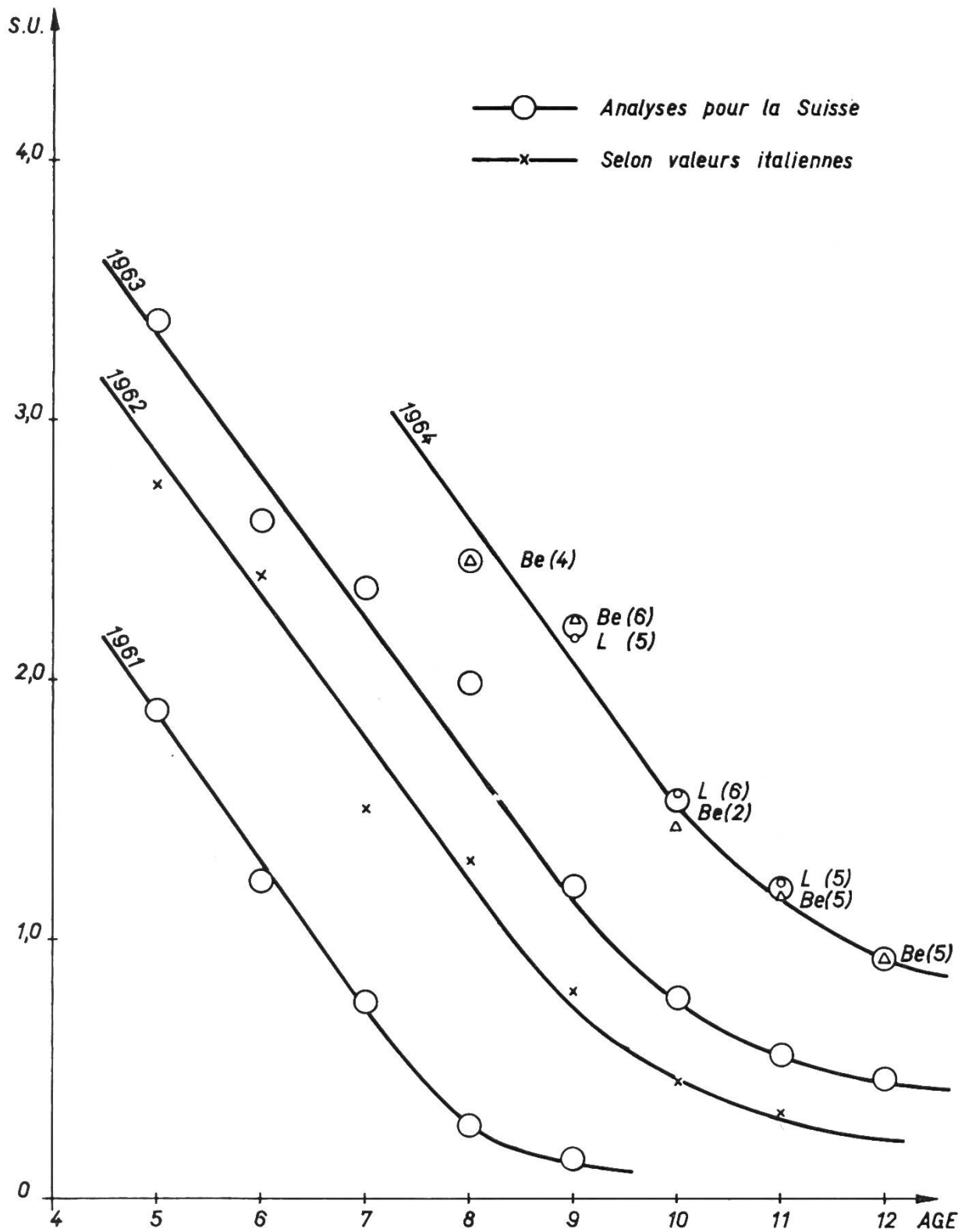


Fig. 17. Spezifische Strontium-Aktivität von Milchzähnen von Kindern verschiedener Altersstufen.

Fig. 17. Activité spécifique du strontium-90 des dents de lait provenant d'enfants d'âges divers.

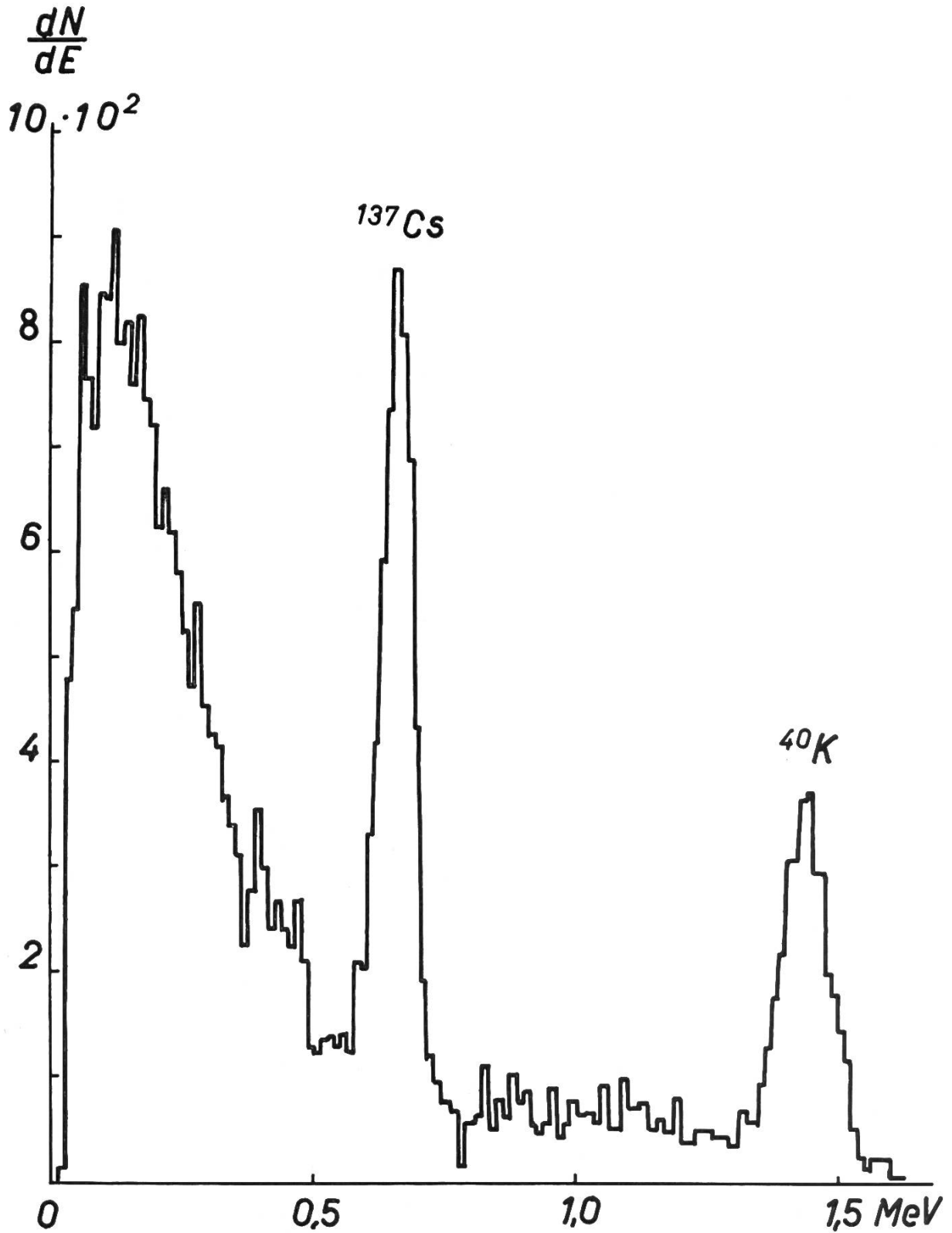


Fig. 18. Gamma-Spektrum eines 20jährigen Mannes (Frühling 1966). Abszisse: Energie der Gamma-Strahlung in MeV. Ordinate: Intensität/Energieintervall.

Fig. 18. Spectre gamma d'un homme de 20 ans (printemps 1966). Abscisse: énergie du rayonnement gamma en MeV. Ordonné: intensité par interval de l'énergie.